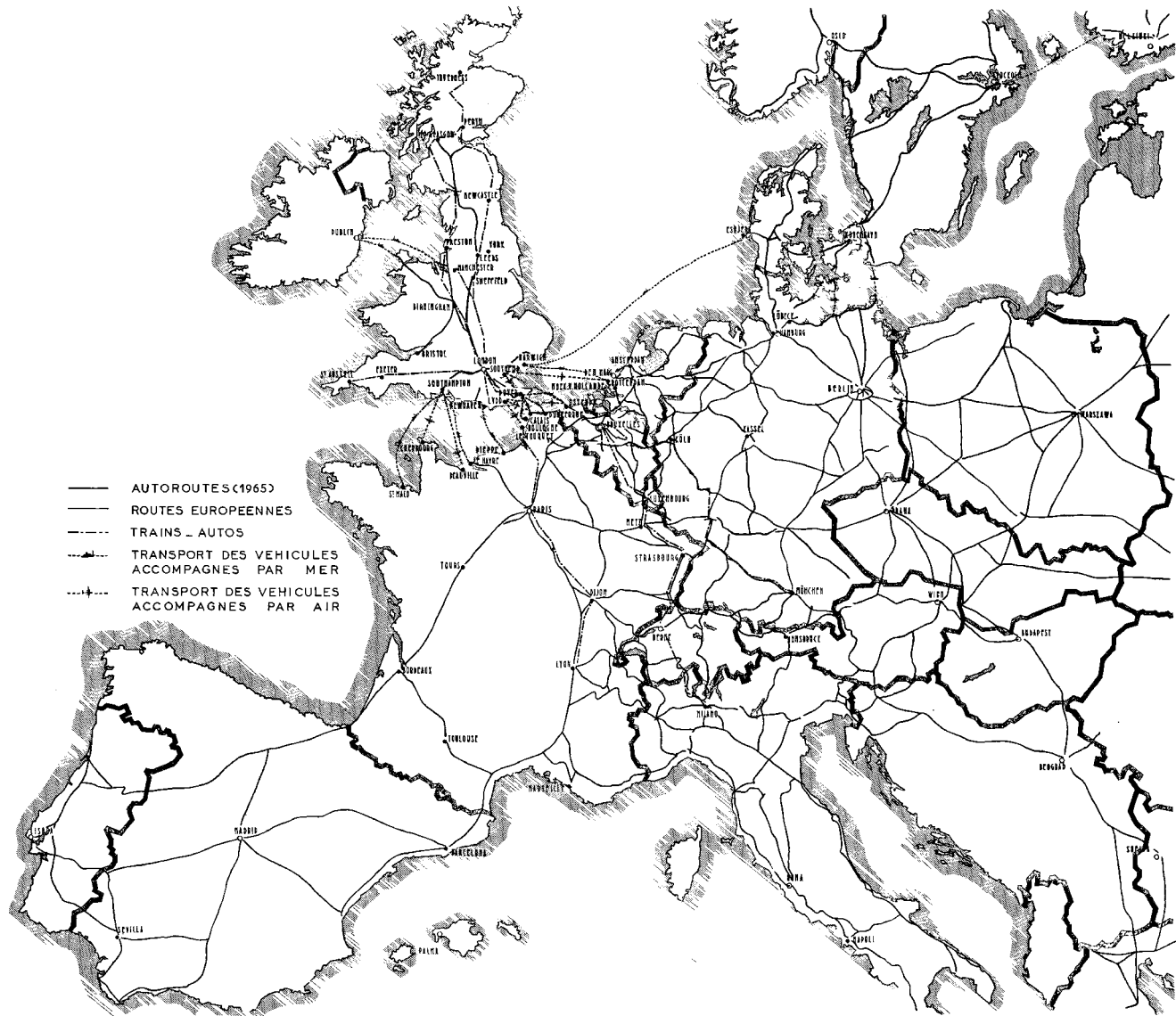
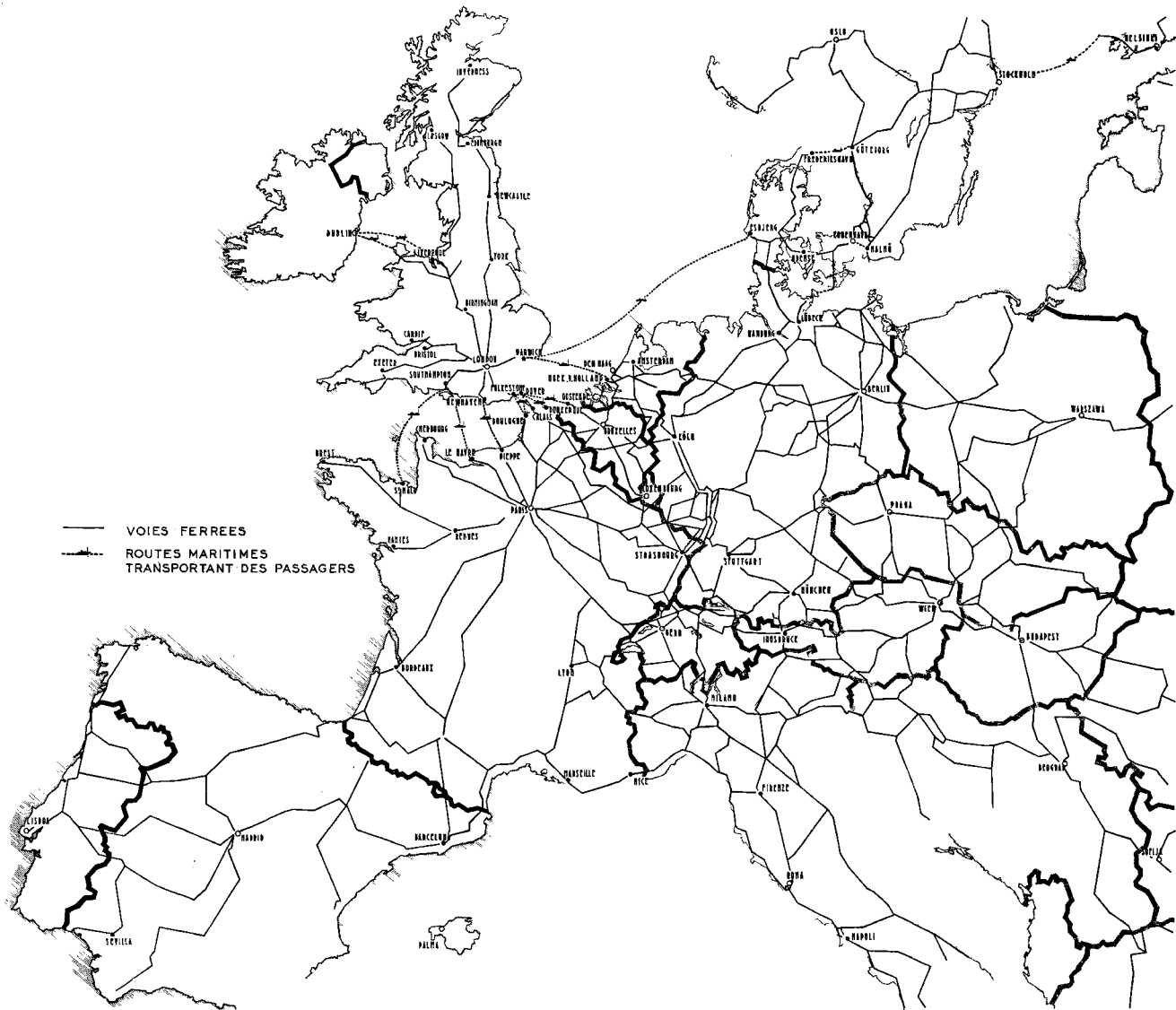


**PLANCHES**

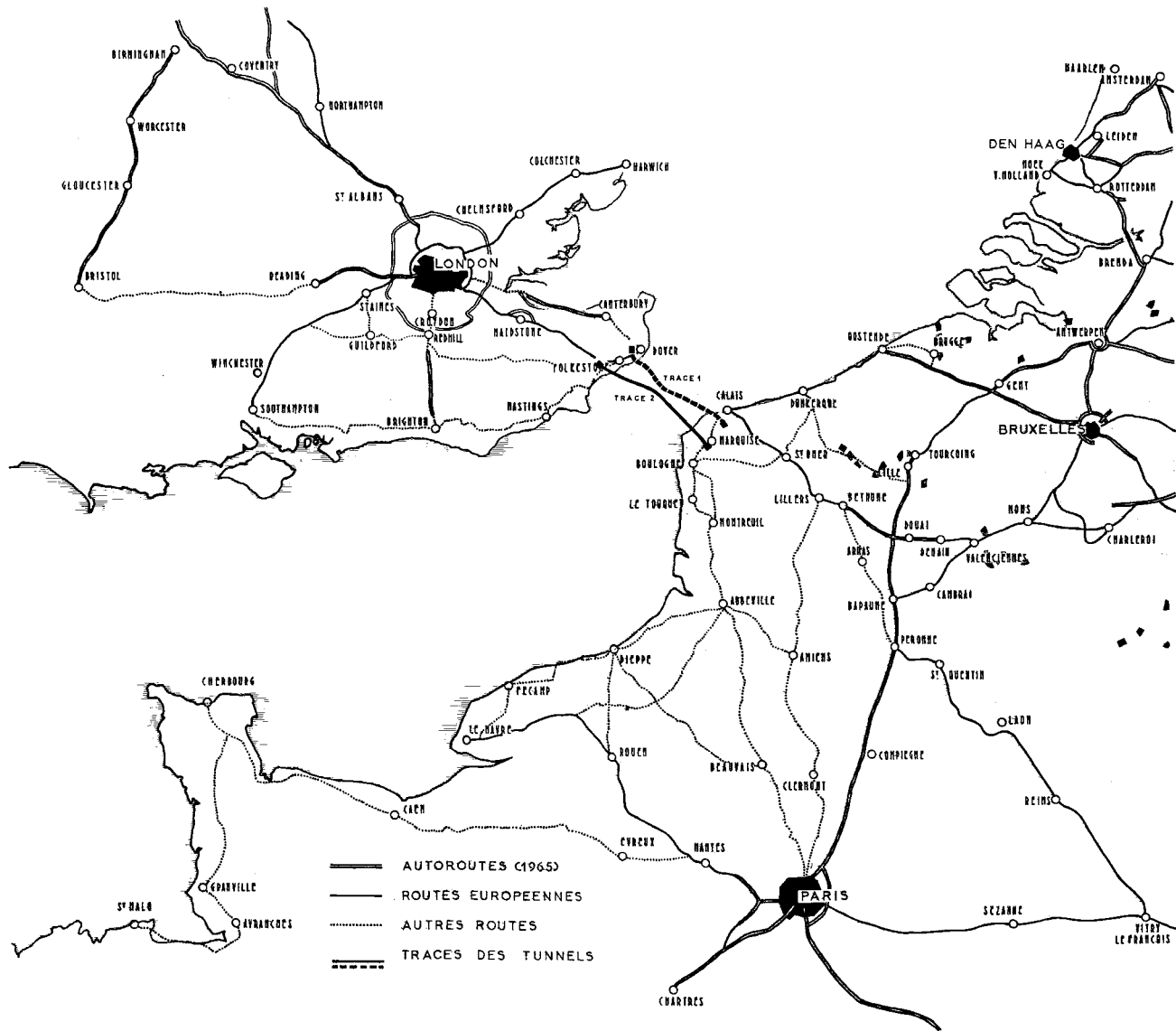
MOYENS DE TRANSPORT DES VEHICULES ACCOMPAGNES A  
 TRAVERS LA MARGE ET RESEAU ROUTIER EUROPEEN EN 1965

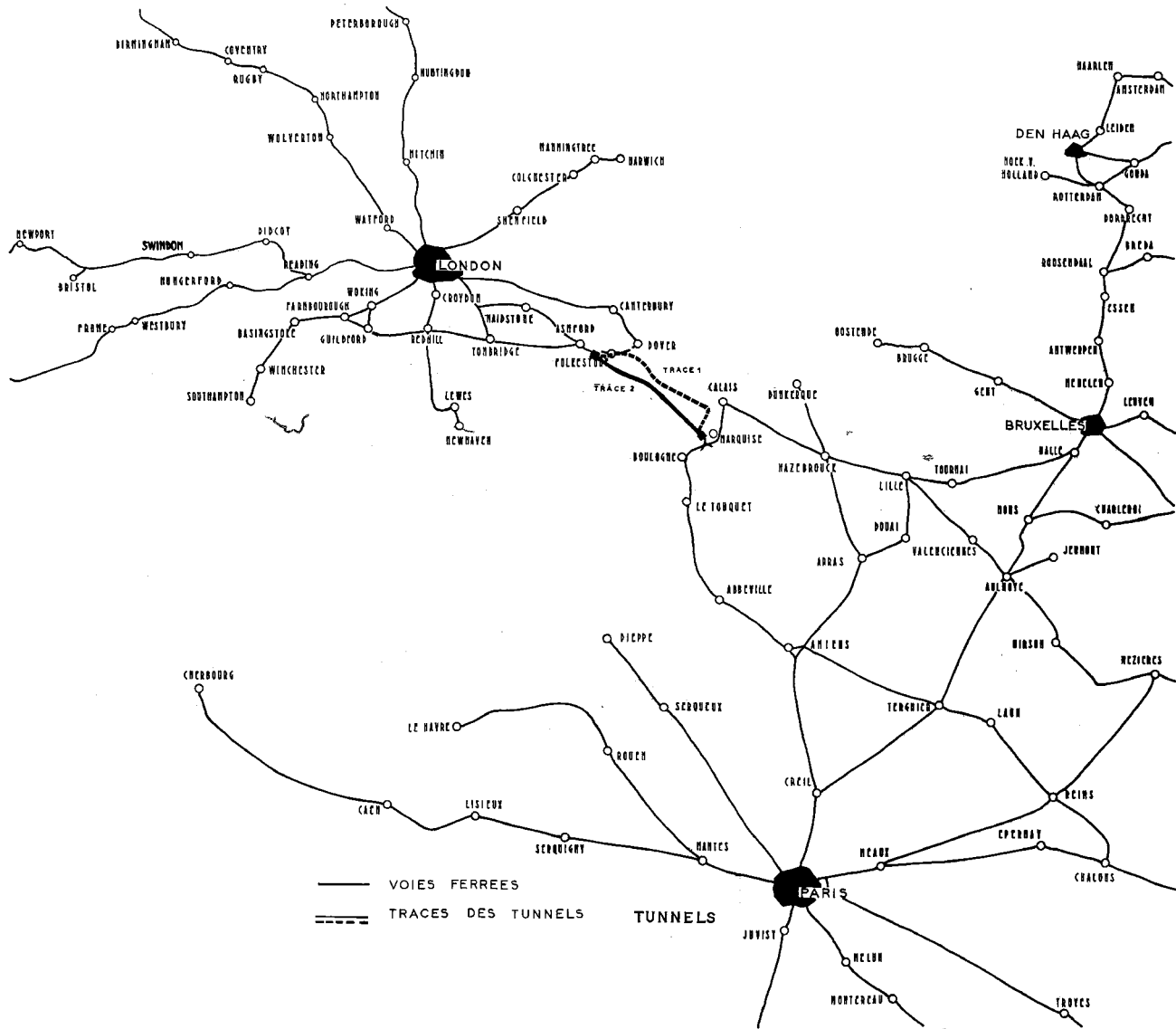


MOYENS MARITIMES DE TRANSPORT DES PASSAGERS A  
TRAVERS LA MANCHE ET RESEAU FERROVIAIRE EUROPEEN

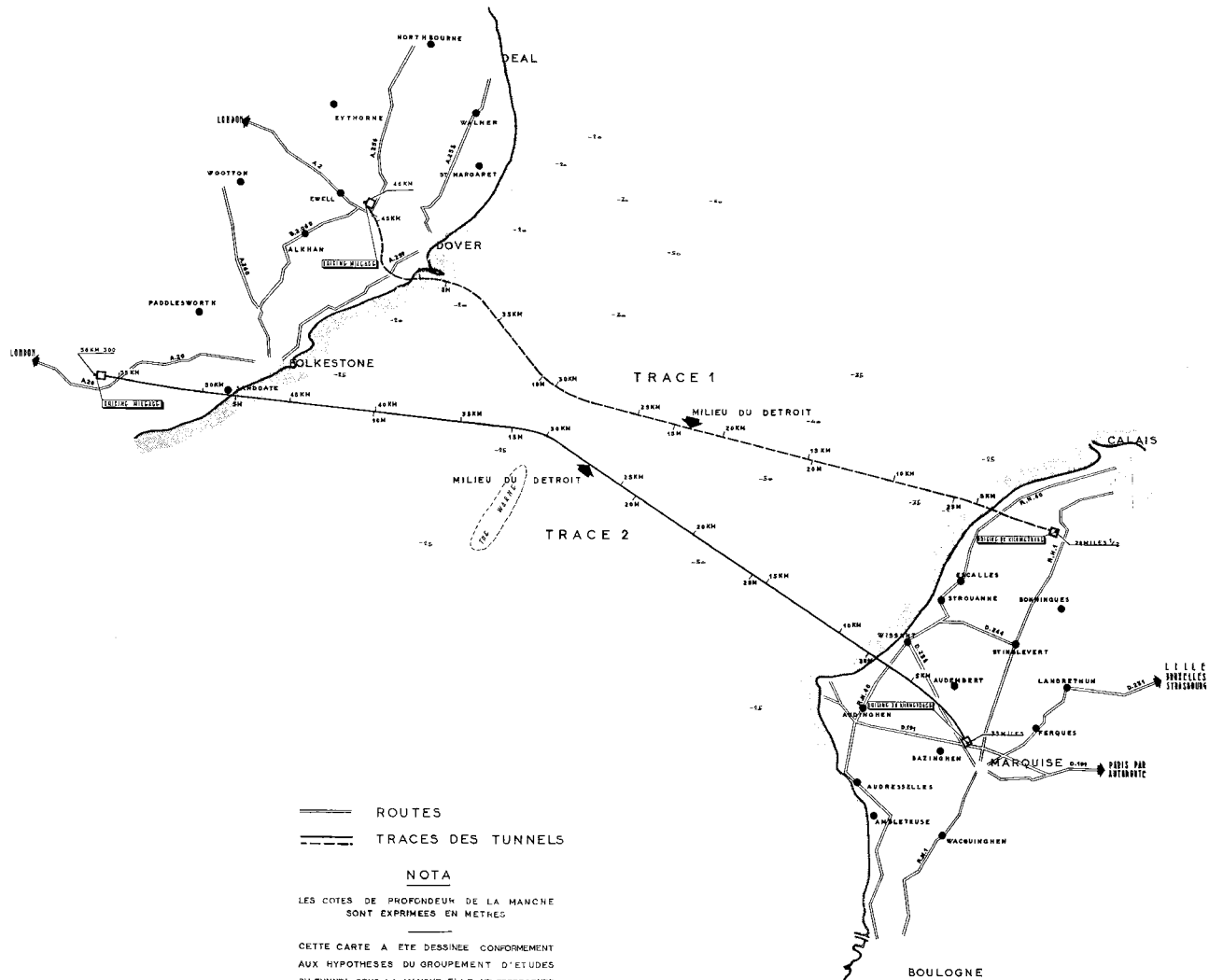






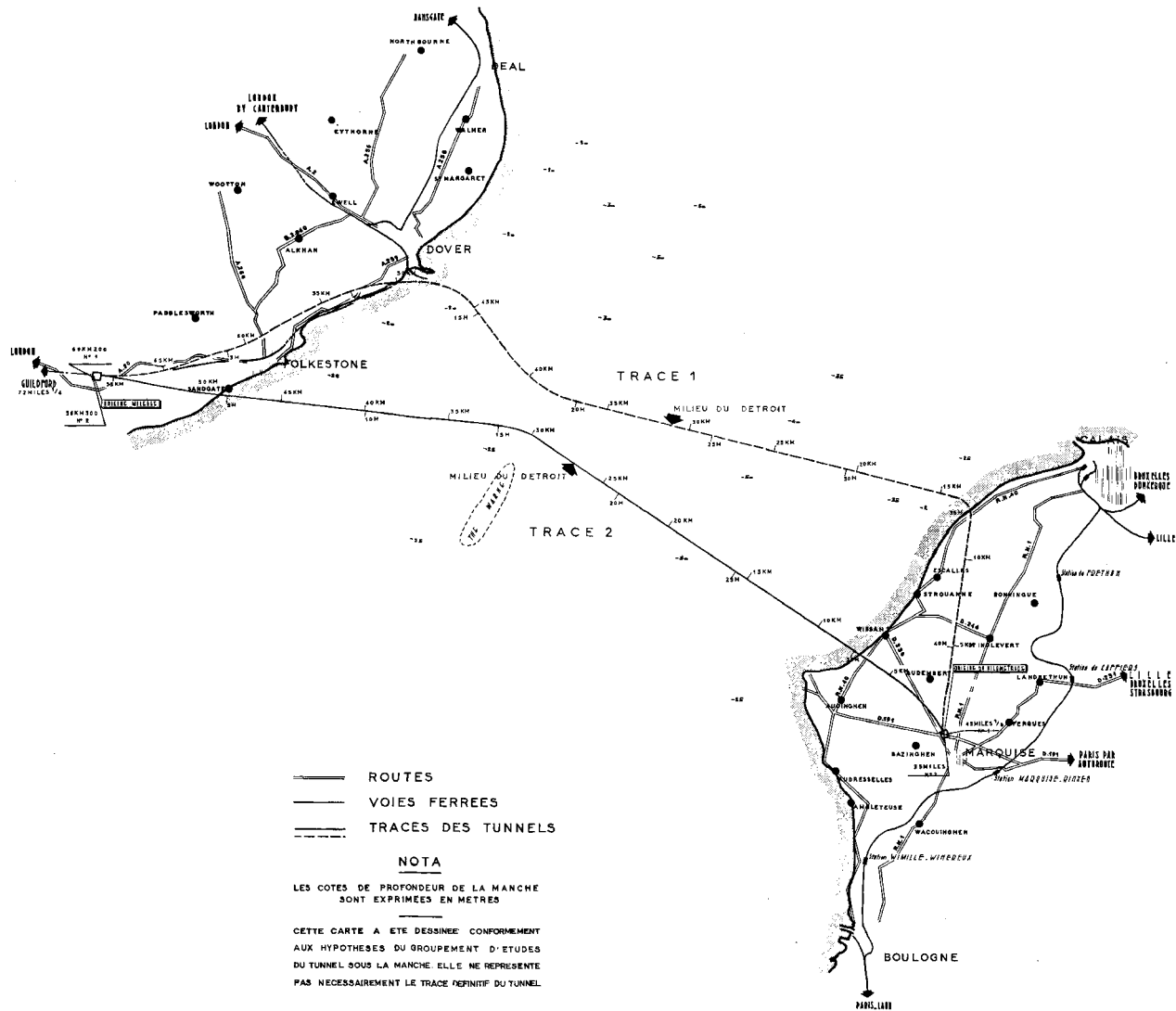


TUNNELS ROUTIERS — PLAN D'IMPLANTATION



TUNNELS FERROVIAIRES - PLAN D'IMPLANTATION

7



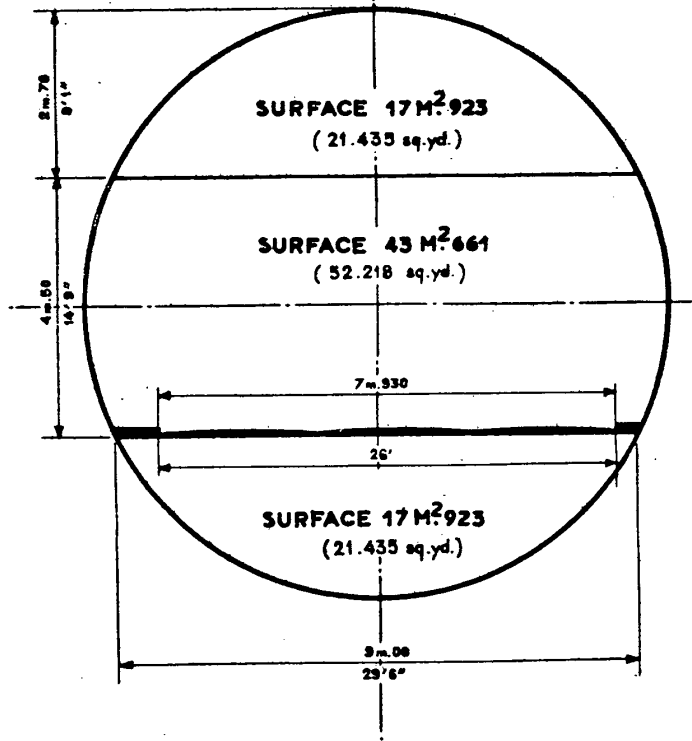


SECTION 79 M<sup>2</sup> 500

(951.082 sq.yd.)

DIAMETRE 10 M.065

(33')



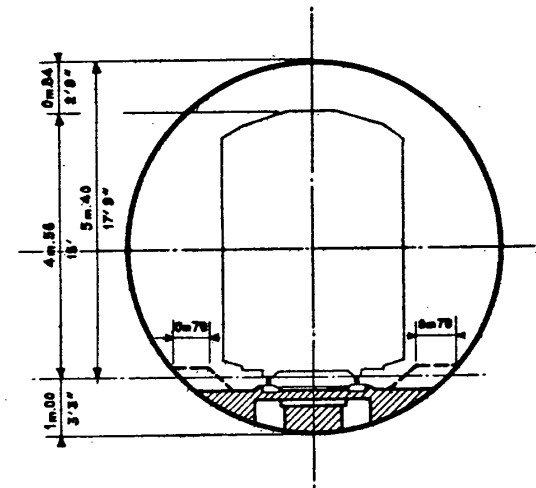
TUNNEL ROUTIER

SECTION 32 M<sup>2</sup> 150

(38.45 sq.yd.)

DIAMETRE 6 M.400

(21')



25 000 VOLTS

GABARIT DE 4 M.560

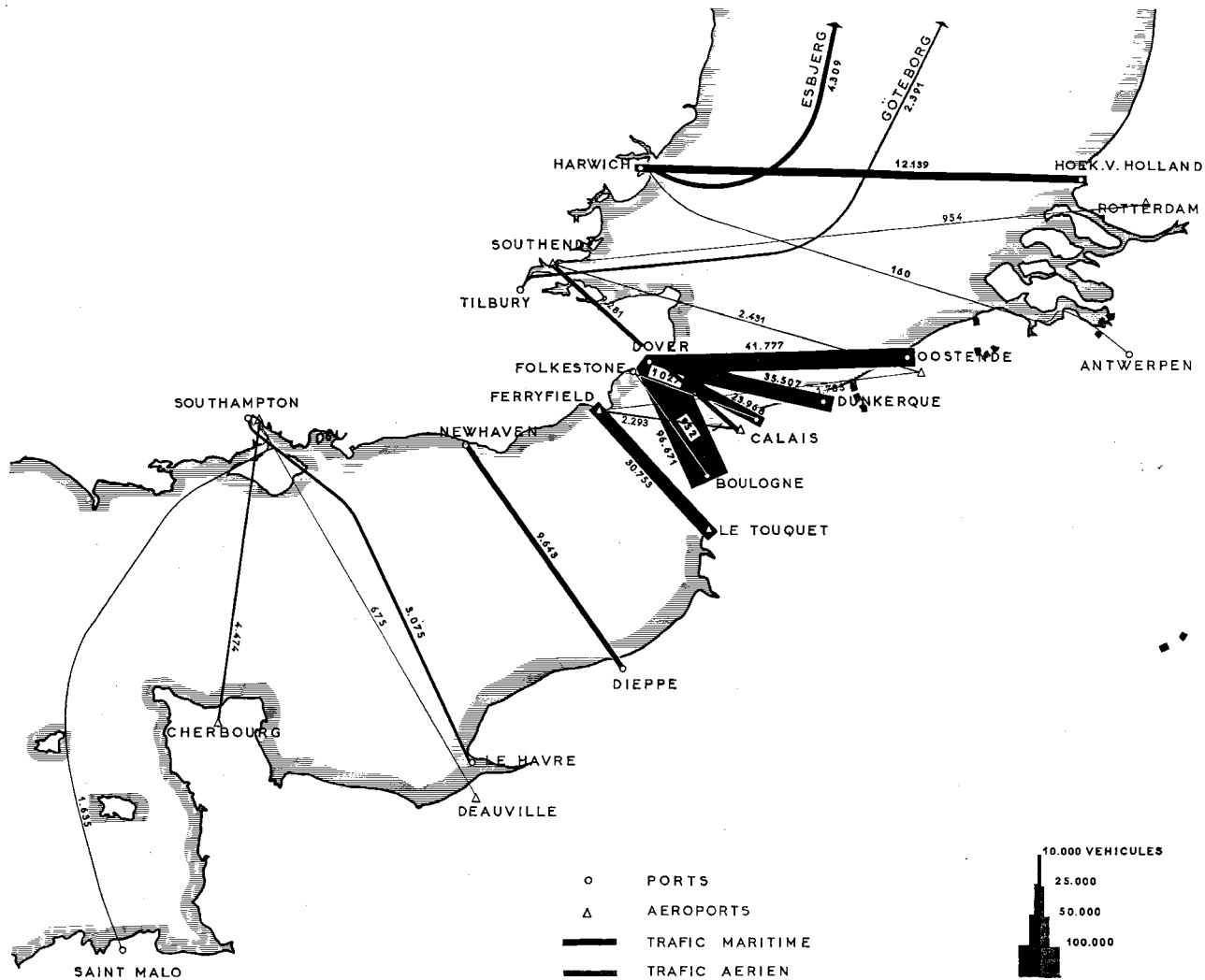
(15')

TUNNEL FERROVIAIRE

- 177 -

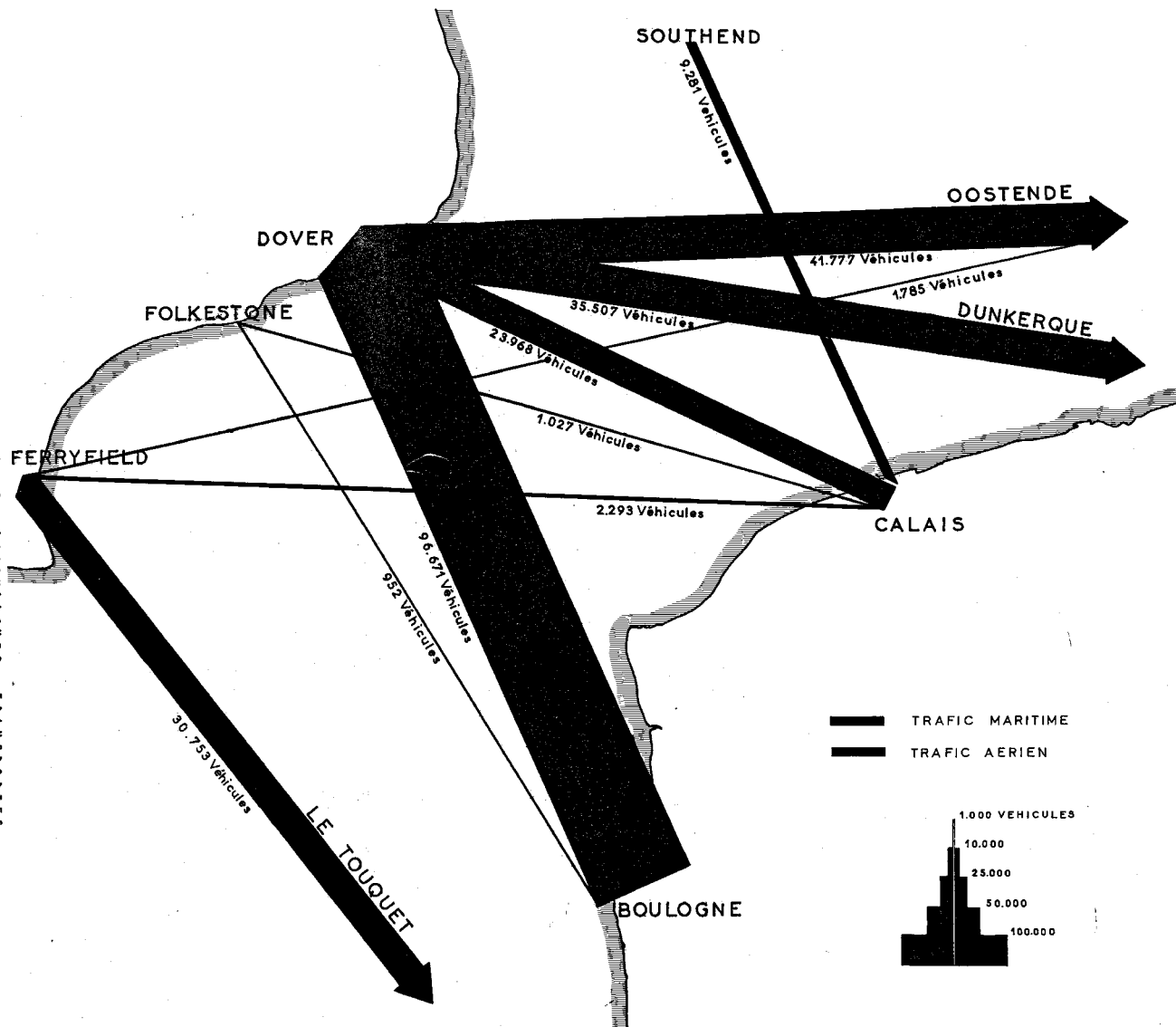
VOLUMES DE VEHICULES ACCOMPAGNES TRANSPORTES  
 PAR LIGNE A TRAVERS LA MARCHE EN 1957

9

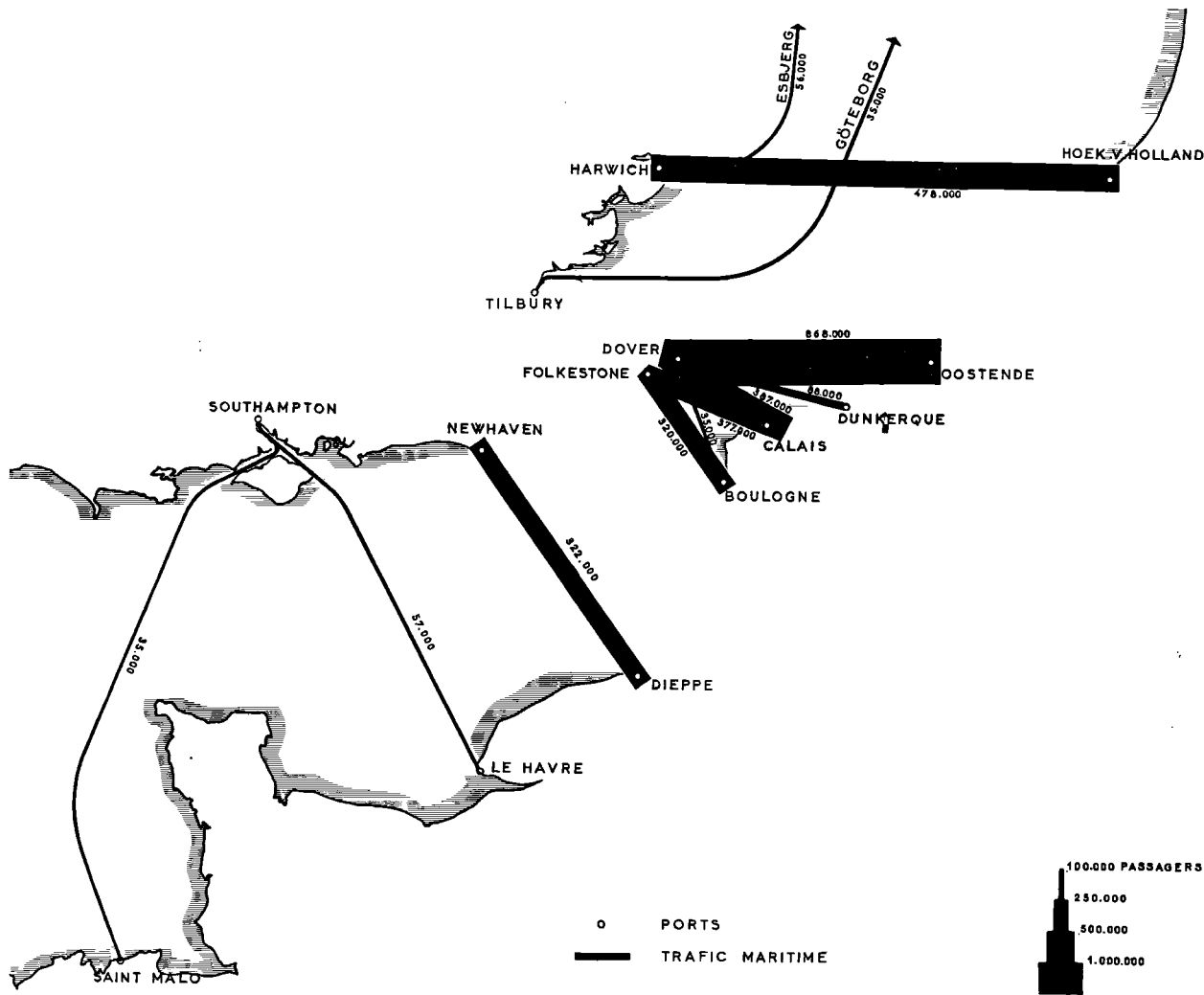


VOLUMES DE VEHICULES ACCOMPAGNES TRANSPORTES  
PAR LIGNE DANS LA ZONE DU TUNNEL EN 1957

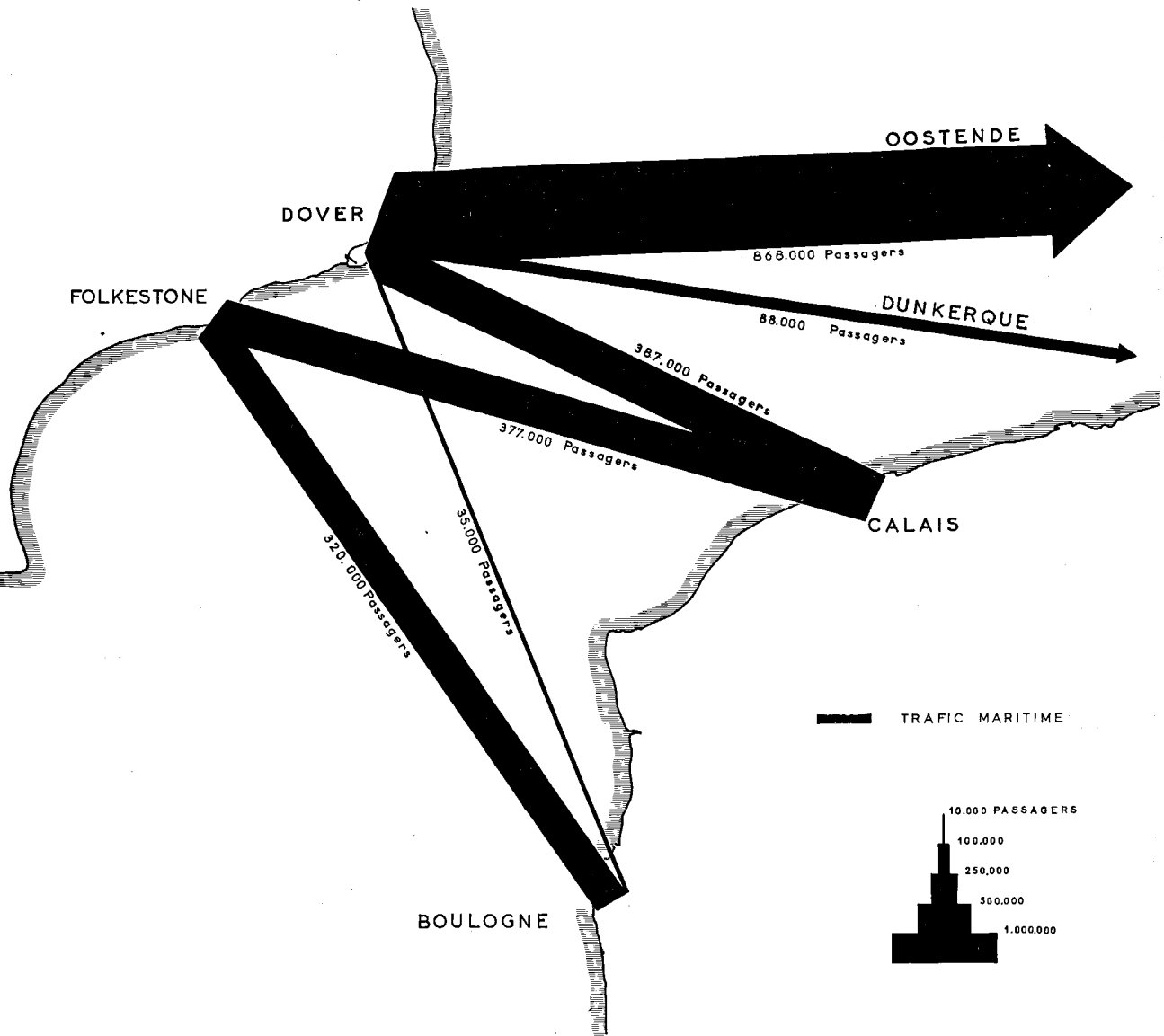
10



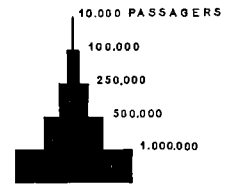
VOLUMES DE PASSAGERS MARITIMES TRANSPORTES  
PAR LIGNE A TRAVERS LA MANCHE EN 1957

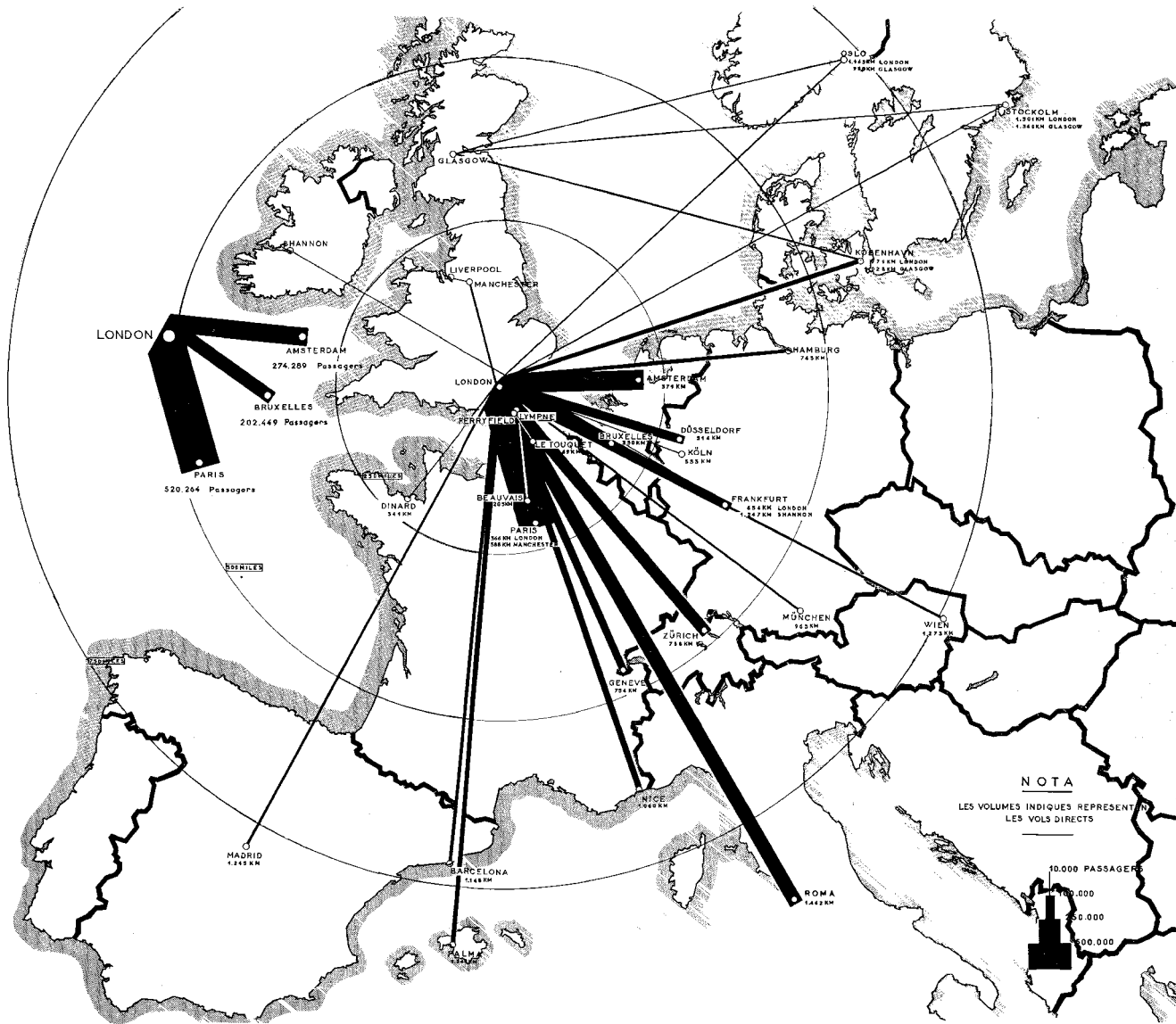


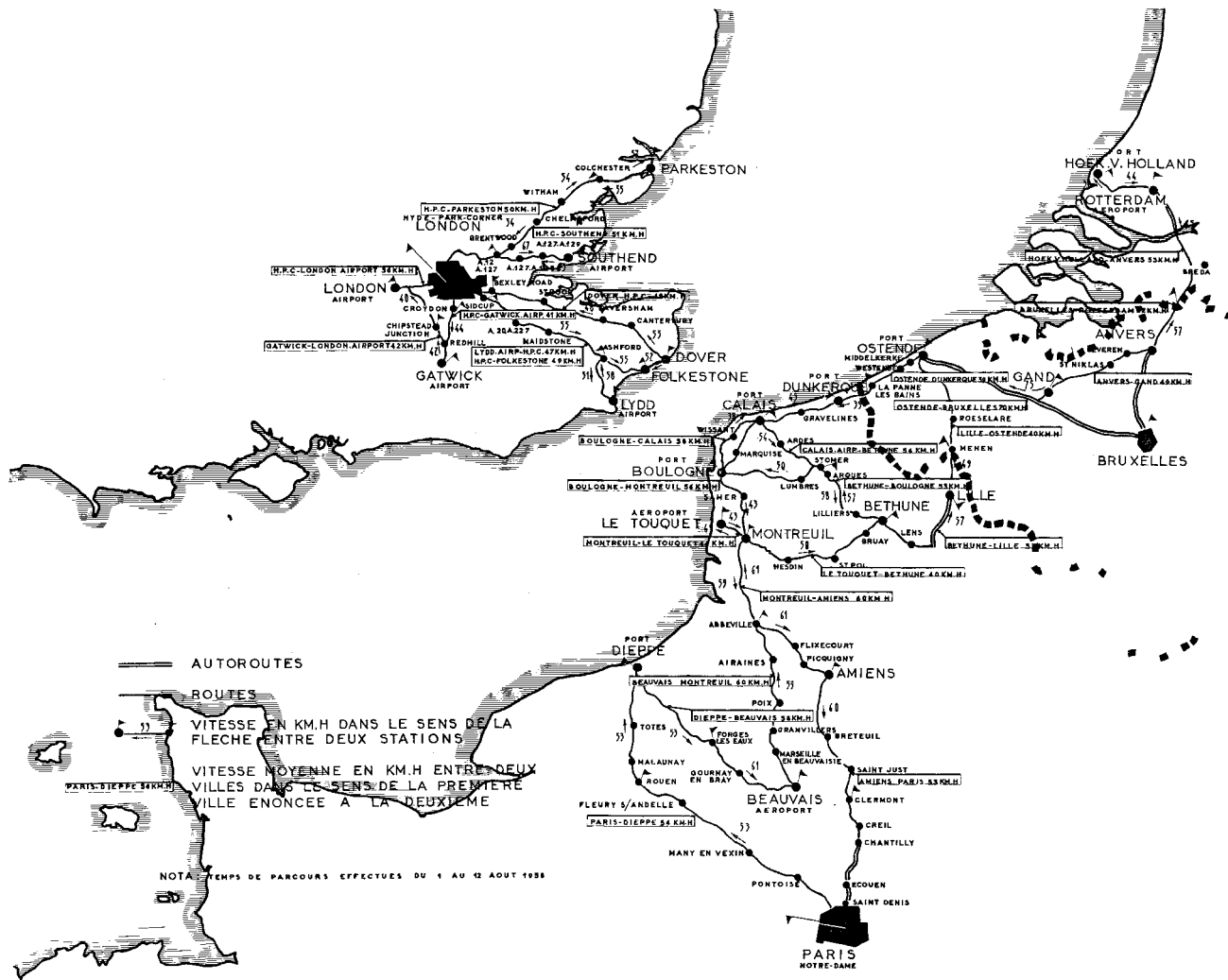
VOLUMES DE PASSAGERS MARITIMES TRANSPORTES  
PAR LIGNE DANS LA ZONE DU TUNNEL EN 1957



TRAFFIC MARITIME

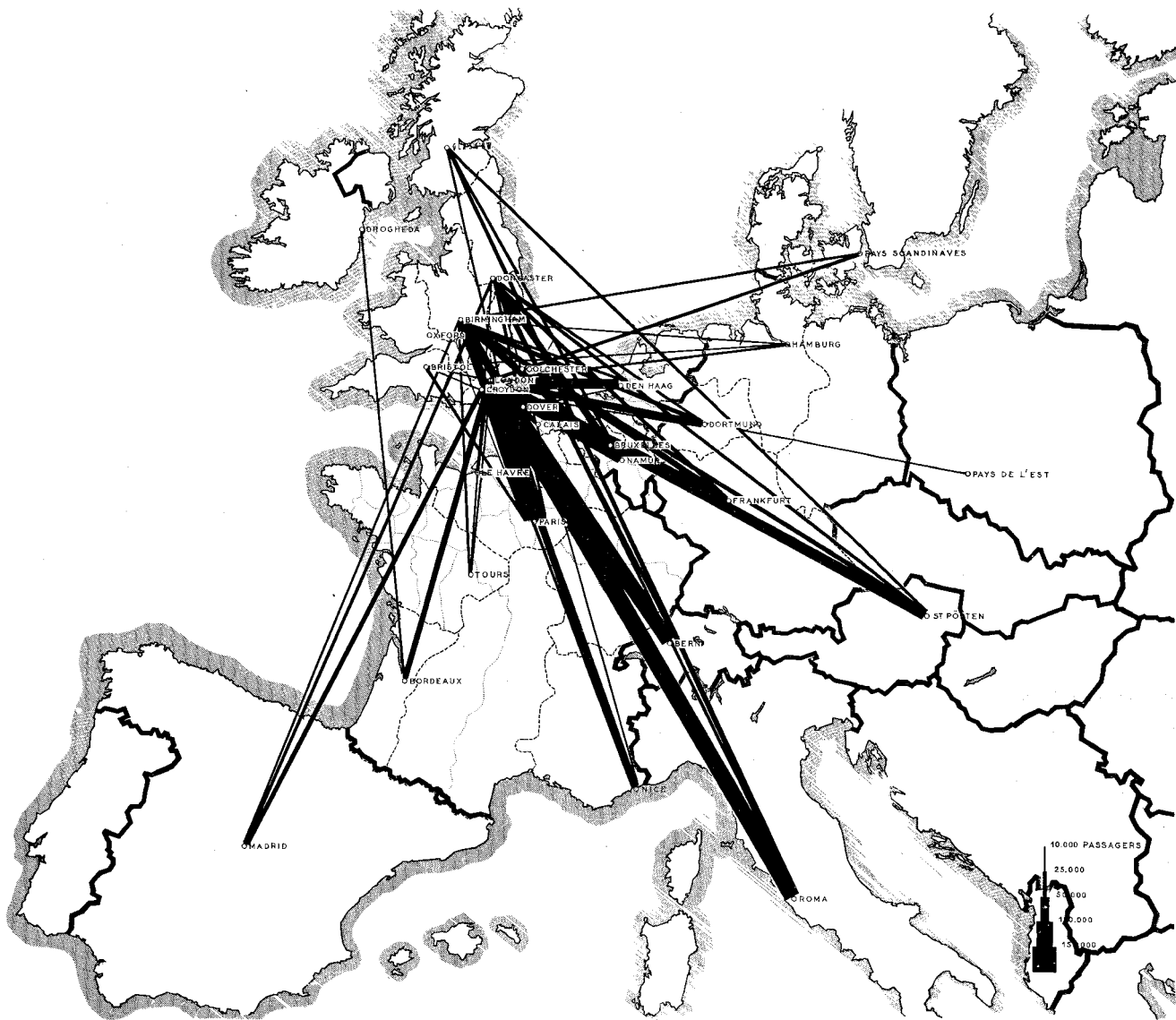


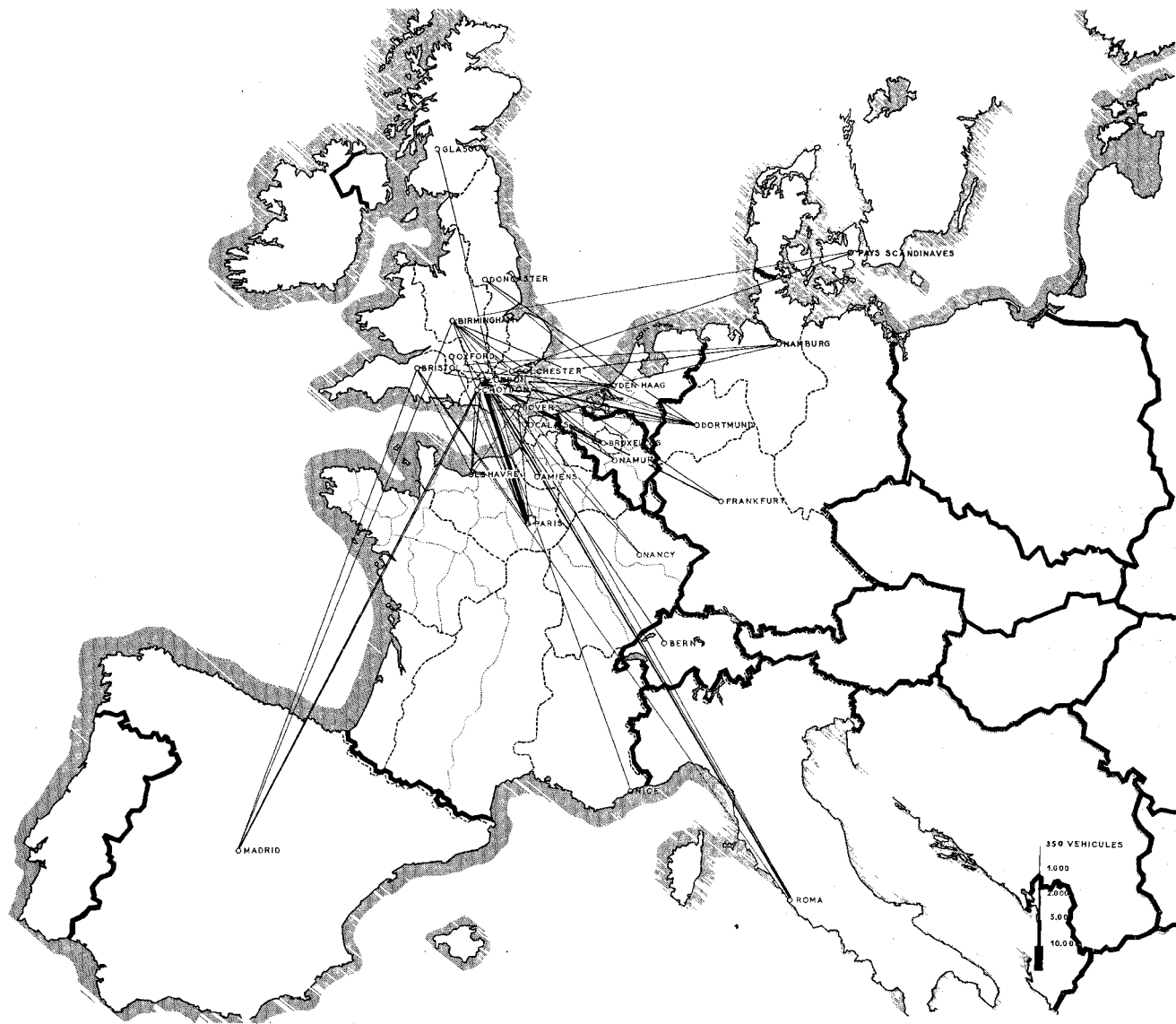








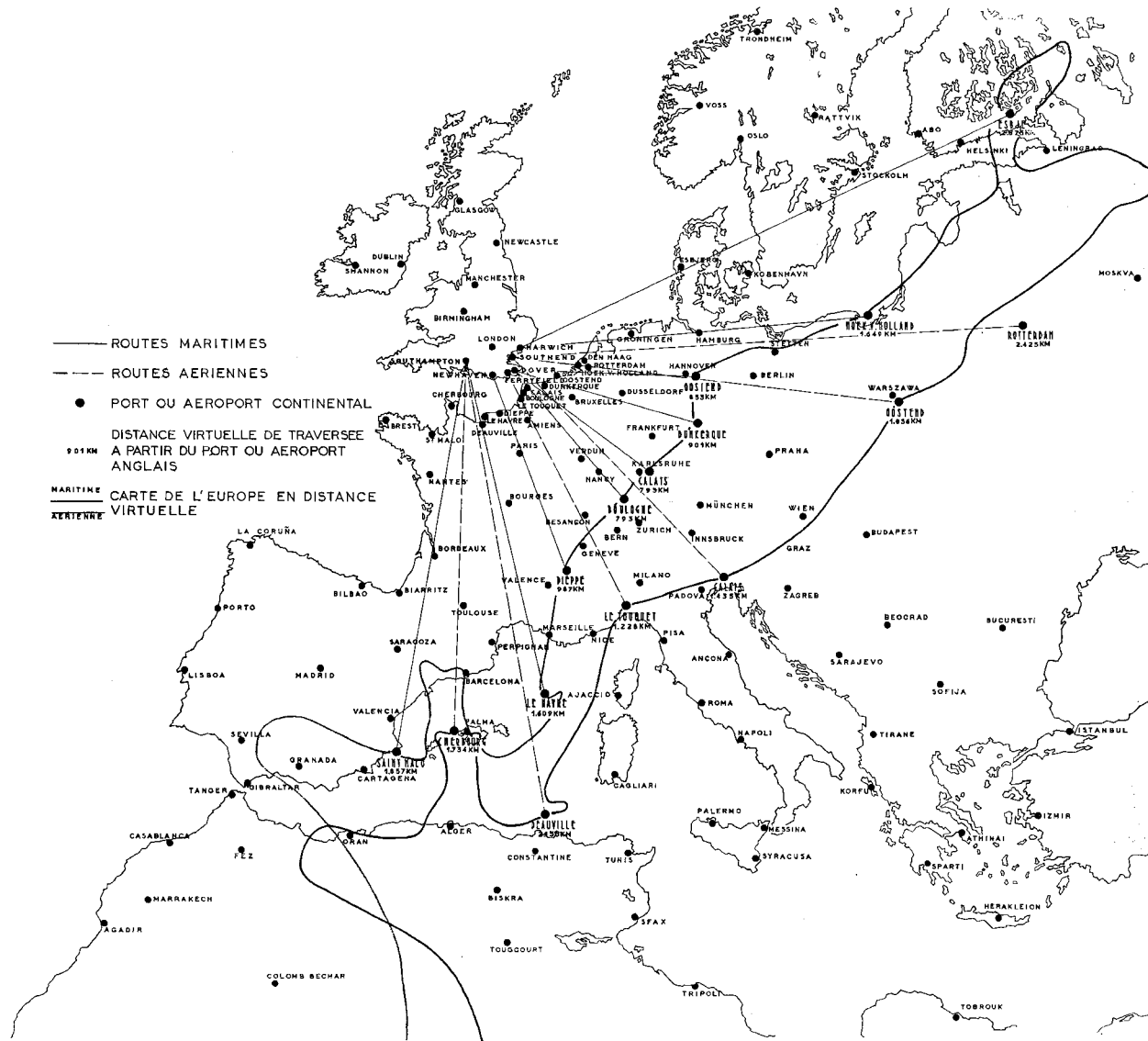




LIGNES DE DESIR DES PASSAGERS (HIVER)

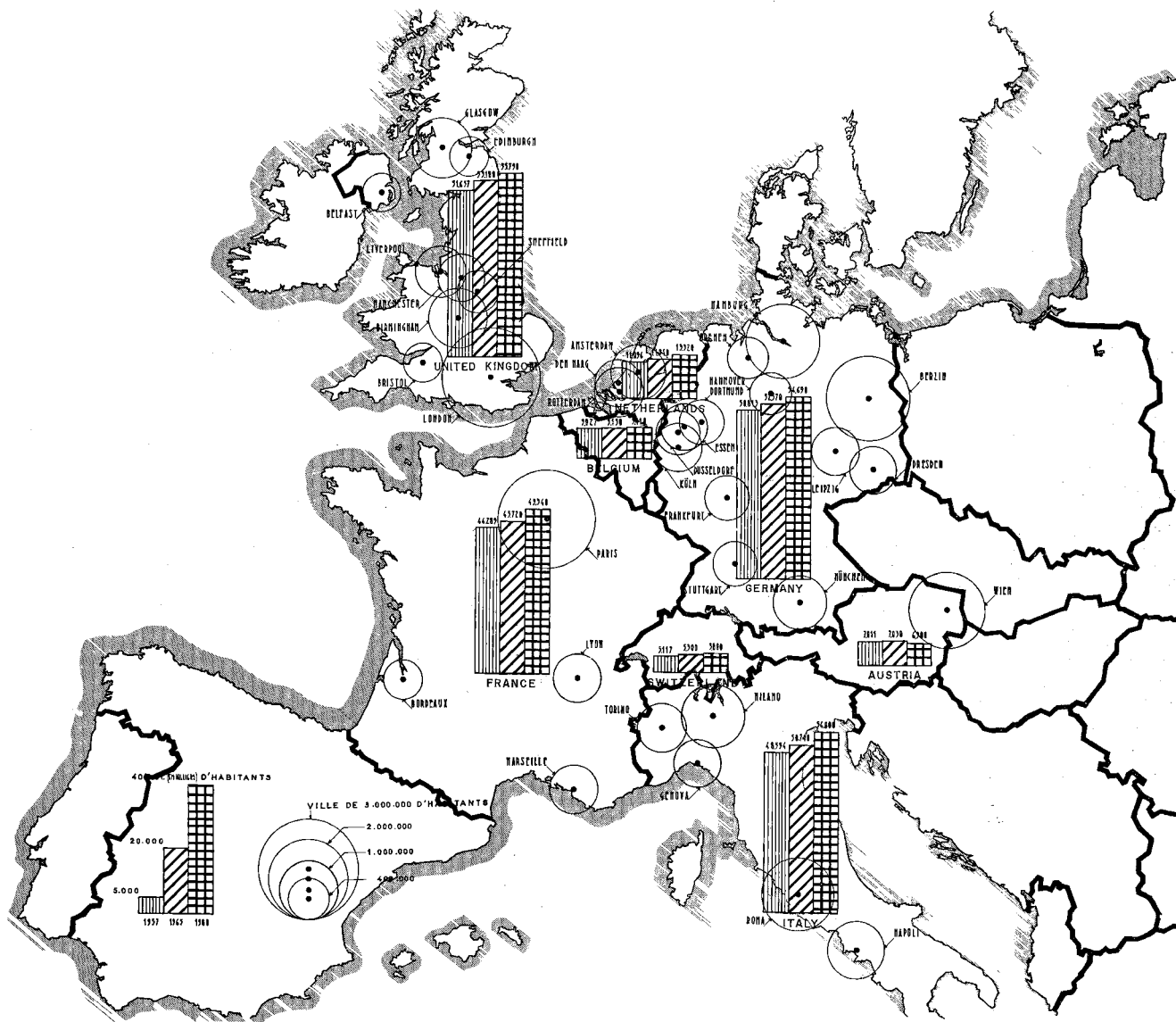


DISTANCES A TERRE EQUIVALENTES AUX TRAVERSEES DE LA MARCHÉ PAR LES DIVERSES ROUTES



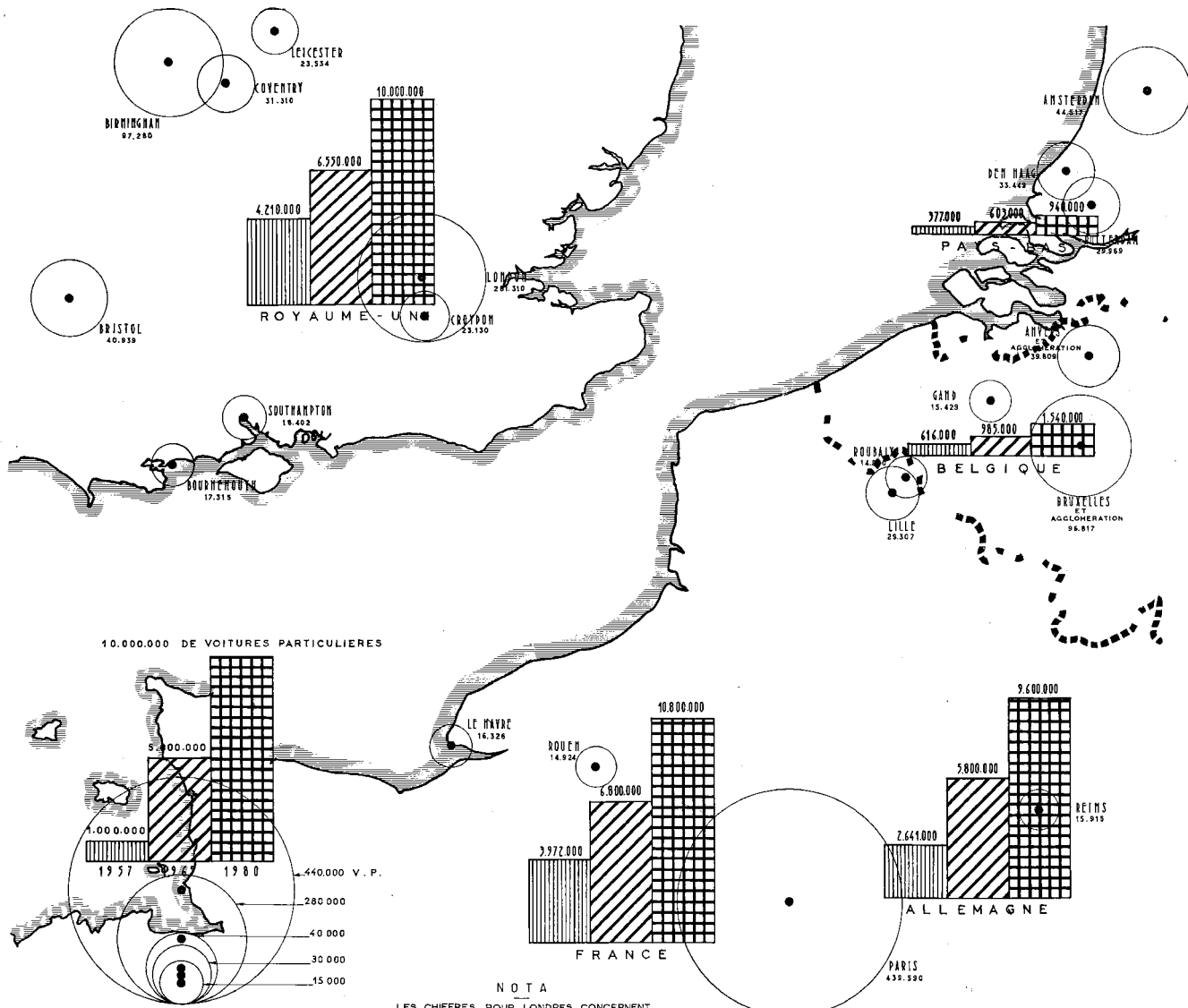
POPULATION EN EUROPE - 1.957 - 1.965 - 1.980

20



EFFECTIF DES VOITURES PARTICULIERS  
EN EUROPE - 1.957 - 1.965 - 1.980

21



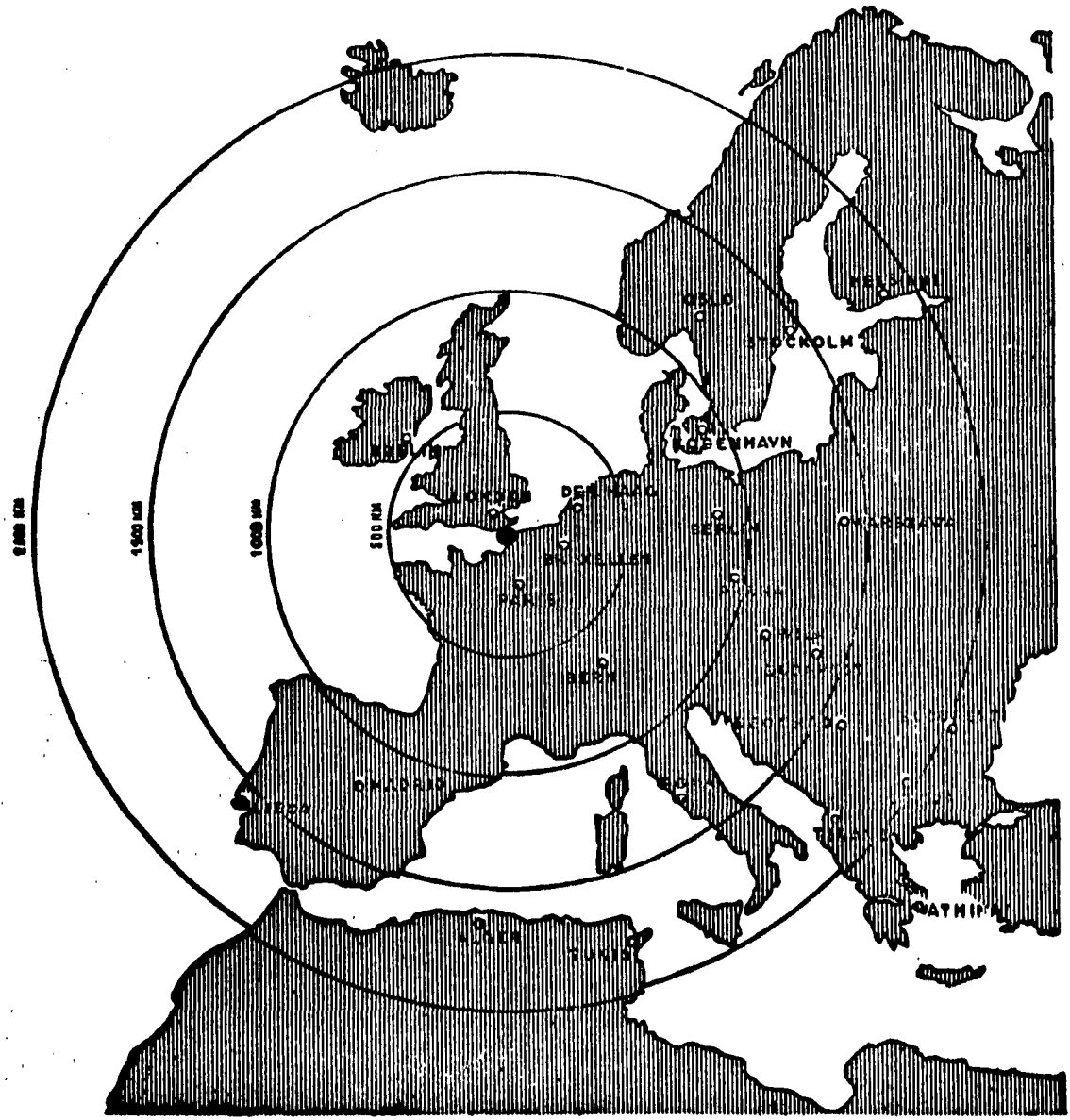


TABLE DES MATIERES

	<u>Page</u>
1. HISTORIQUE ET BUT	1
2. COURBES D'AFFECTION (COURBES DE DETOURNEMENT OU COURBES DE CHOIX)	iii
2.1 Notion empirique de courbe de choix entre deux possibilités	
2.2 Deux modèles simples	
2.3 Présentation adoptée pour la courbe de choix	
2.4 Explication de la courbe de choix par les "valeurs subjectives"	
2.5 Deux modèles très voisins	
2.6 Courbe de choix et courbe d'affectation entre deux possibilités	
3. "LOI" DE TRAFIC	xi
3.1 Le trafic fonction de la distance virtuelle entre deux zones	
3.2 Etudes précédentes	
3.3 Signification des fonctions "puissance" et "exponentielle"	
3.4 Structure du trafic entre deux groupes de zones	
3.5 Principe de calcul du trafic engendré par le Tunnel à partir de la structure du trafic actuel entre la Grande-Bretagne et le Continent	
3.50 Méthode suivie	
3.51 Etude de la répartition des départs de la zone (i) entre les zones (j) de destination	
3.52 Distribution statistique des voyages en fonction de la distance	



APPENDICE : Liste des Graphiques

1. Allure de la Courbe d'Affectation, Modèle  $M_1$  :  $\frac{n_1}{n_2} = K e^{\lambda(C_2 - C_1)}$
2. Loi des coûts subjectifs
3. Nombre de véhicules quittant une zone anglaise donnée (exprimé en pourcentage du nombre de véhicules quittant Londres) en fonction de la zone continentale de destination
4. Détermination de la loi exponentielle
5. Loi de distribution des voyages en fonction de la distance - Total Grande-Bretagne (Loi Exponentielle)
6. Loi de distribution des voyages en fonction de la distance - Total Grande-Bretagne (Loi Puissance)
7. Loi de distribution des voyages en fonction de la distance - Total Londres (Loi Exponentielle) - distance virtuelle par ligne réellement empruntée
8. Loi de distribution des voyages en fonction de la distance - Total Londres (Loi Puissance) - Distance virtuelle par ligne réellement empruntée
9. Loi de distribution des voyages en fonction de la distance - Total Londres (Loi Exponentielle) - Distance virtuelle par Douvres-Boulogne
10. Loi de distribution des voyages en fonction de la distance - Total Londres (Loi Puissance) - Distance virtuelle par Douvres-Boulogne.

UNE APPROCHE THEORIQUE POUR LE TRAFIC DETOURNE  
ET POUR LE TRAFIC ENGENDRE

1. HISTORIQUE ET BUT

Le problème difficile de l'estimation du trafic potentiel a été, dans les années récentes, étudié de manière approfondie aux Etats-Unis où les principales routes à péage ont été construites depuis la fin de la deuxième guerre mondiale.

L'estimation du trafic détourné est basée généralement sur des "courbes d'affectation" déduites de données d'enquêtes d'origine et de destination avec l'hypothèse de base que le temps de trajet peut être mesuré en termes de monnaie comme le coût d'exploitation du véhicule. Les courbes d'affectation utilisées sont déterminées expérimentalement par comparaison des bénéfices pour les usagers et du péage payé et sont généralement des courbes en forme de S.

Le phénomène le plus difficile à apprécier est l'engendrement d'un trafic nouveau, n'existant pas auparavant, et qui dans le cas de moyens fixes de franchissement remplaçant les baes peut atteindre un niveau supérieur à 100%. En traitant du trafic induit dans le numéro de Janvier 1953 du "Traffic Quarterly" publié par l'"ENO Foundation", Mr. Burpee disait: "la méthode habituelle pour estimer le trafic induit consiste à raisonner par analogie c'est-à-dire à étudier l'histoire d'autres ouvrages analogues au projet considéré".

On doit reconnaître que le problème du trafic détourné et du trafic engendré posé par le Tunnel sous la Manche projeté est d'une amplitude et d'une complexité rarement rencontrées jusqu'alors.

Les données obtenues par l'enquête ont été utilisées pour construire les courbes d'affectation point par point. Mais dans certains cas les courbes ainsi obtenues ont dû être extrapolées dans des zones où, étant donné la structure existante des tarifs, aucun point ne pouvait être obtenu. Par suite, la connaissance de la forme et des propriétés de la courbe d'affectation était l'outil le meilleur et le plus sûr.

L'engendrement de trafic est d'une importance capitale. Les voyages effectués à travers la Manche atteignent en moyenne une distance virtuelle de 2.000 kilomètres, distance tout à fait inhabituelle. La méthode suivie par les ingénieurs-conseils pour estimer le trafic engendré consiste à trouver la relation entre le trafic et la distance virtuelle de façon à pouvoir calculer la variation du trafic entraînée par une variation donnée de la distance virtuelle des voyages.

2. COURBES D'AFFECTION (COURBES DE DETOURNEMENT  
OU COURBES DE CHOIX)

2.1 Notion empirique de courbe de choix entre  
deux possibilités

Supposons que pour deux coûts donnés  $C_1$  et  $C_2$  (ces coûts tenant compte de tous les éléments auxquels l'utilisateur attache une valeur monétaire), pour deux routes données  $L_1$  et  $L_2$ ,  $n_1$  individus choisissent la route  $L_1$  et  $n_2$  choisissent la route  $L_2$ .

Supposons que nous modifions  $C_2$ , par exemple que nous l'augmentions. Une partie des individus qui avaient décidé d'utiliser  $L_2$  vont utiliser  $L_1$ . Le nombre total des individus  $n_1 + n_2$  étant donné,  $\frac{n_1}{n_2}$  est une fonction de  $C_1$  et  $C_2$ .

$$\frac{n_1}{n_2} = f(C_1, C_2)$$

Si les divers groupes d'individus qui ont à effectuer le choix entre deux possibilités ont un comportement analogue, cette fonction sera applicable quels que soient ces groupes et quelle que soit leur taille n

2.2 Deux modèles simples

2.20 Deux approximations différentes, toutes deux très simples, sont les suivantes:

- a)  $C_1$  et  $C_2$  agissent sur le choix seulement par leur différence  $(C_2 - C_1)$

$$\frac{n_1}{n_2} = f(C_2 - C_1)$$

- b)  $C_1$  et  $C_2$  agissent sur le choix seulement par leur rapport  $C_2/C_1$

$$\frac{n_1}{n_2} = f\left(\frac{C_2}{C_1}\right)$$

2.21 Choix de la fonction

Des fonctions simples sont les suivantes:

2.220 Modèle de la différence des coûts

$$d. \frac{\frac{n_1}{n_2}}{\frac{n_1}{n_2}} = \lambda d. (C_2 - C_1) \quad (M_1): \frac{n_1}{n_2} = Ke^{\lambda(C_2 - C_1)}$$

2.221 Modèle du rapport des coûts

$$d. \frac{\left(\frac{n_1}{n_2}\right)}{\frac{n_1}{n_2}} = \alpha d. \left(\frac{C_2}{C_1}\right) \quad (M_2): \frac{n_1}{n_2} = K \left(\frac{C_2}{C_1}\right)^\alpha$$

Ces deux modèles sont valables (en tant qu'approximation du 1er ordre) pour des variations limitées de  $(C_2 - C_1)$  ou  $\frac{C_2}{C_1}$ . Ces deux modèles diffèrent seulement par l'action de  $C_1$  et  $C_2$ . Ils correspondent à :

$$\text{Log } \frac{n_1}{n_2} = \begin{cases} \lambda (C_2 - C_1) & \text{(Modèle } M_1) \\ \alpha \text{ Log } \frac{C_2}{C_1} & \text{(Modèle } M_2) \end{cases}$$

Dans ce qui suit, le modèle  $(M_1)$  sera étudié plus particulièrement parce que nos courbes d'affectation ont été tracées en utilisant des différences de coûts (Toutes les conclusions tirées peuvent être appliquées facilement au modèle  $(M_2)$ . Il suffit de remplacer  $C_2 - C_1$  par  $\text{Log } \frac{C_2}{C_1}$ )

2.3 Présentation adoptée pour la courbe de choix :  $\frac{n_1}{n_1 + n_2}$

2.30 Au lieu de considérer  $\frac{n_1}{n_2}$  considérons  $\frac{n_1}{n_1 + n_2}$  qui représente la proportion du trafic utilisant la route  $L_1$ .

Si pour  $C_2 = C_1$  le trafic se répartit en parties égales entre les deux routes nous avons  $K=1$  et le modèle devient :  $\frac{n_1}{n_2} = e^{\lambda (C_2 - C_1)}$ . La courbe  $\frac{n_1}{n_1 + n_2}$  est symétrique autour du point  $(C_2 - C_1) = 0, \frac{n_1}{n_1 + n_2} = 50\%$  comme le montre le graphique n° 1.

Le tableau joint au graphique n° 1 donne quelques valeurs de  $\frac{n_1}{n_1 + n_2}$  pour une valeur particulière de  $\lambda$ . En fait nous avons utilisé  $\text{Log}_{10} \frac{n_1}{n_2} = C_2 - C_1$ .

La courbe correspondante représentée sur le graphique n° 1 a une forme en "S".

2.31 La signification de la constante K

Une erreur dans la mesure d'un coût ou, par exemple, un élément non pris en considération dans le calcul de ce coût explique la nécessité d'introduire la constante K. En fait :

$$K e^{\lambda (C_2 - C_1)} = e^{\lambda (C_2 - C_1 + \delta)}$$

L'introduction de la constante  $K = e^{\lambda \delta}$  entraîne pour la courbe  $\frac{n_1}{n_1 + n_2}$ , comme pour la courbe  $\frac{n_1}{n_2}$ , une translation d'amplitude  $\delta$  parallèlement à l'axe des abscisses.

2.4 Explication de la courbe de choix par les "valeurs subjectives" (1)

2.40 La base de la courbe de choix

Pour un individu (i) qui doit choisir entre  $L_1$  et  $L_2$  la possibilité  $L_1$  est préférée à la possibilité  $L_2$  si la différence des valeurs subjectives  $(V_1 - V_2)_i$  est supérieure à la différence des coûts réels  $(C_2 - C_1)_i$ .

$C_1$  et  $C_2$  représentent des coûts calculés de la manière suivante :

- coût moyen de traversée
- + coût moyen d'exploitation d'une voiture pour une distance donnée
- + coût moyen du temps pour une longueur donnée du voyage.

Ces coûts sont des moyennes pour des groupes d'individus. De plus il faut noter que des erreurs ont pu s'introduire dans la mesure de  $C_1$  et  $C_2$ , par exemple éléments du coût moyen non mesurés exactement ou autres éléments non pris en compte tels que sécurité, confort, etc. (2)

---

(1) L'idée de cette explication a été introduite par Mr. Malcor

(2) Voir paragraphe 2.31 ci-dessus.

Le coût ainsi mesuré, pour l'individu (i) et pour la possibilité (L) intervient seulement par sa différence avec la valeur subjective de cette possibilité (L) pour cet individu (i). Il est plus commode pour le développement du raisonnement de rapporter toutes les possibilités à une même valeur subjective de référence et de considérer pour chaque individu des coûts subjectifs des différentes possibilités pour une même valeur subjective.

Ainsi pour l'individu (i) les possibilités  $L_1$  et  $L_2$  ont des coûts subjectifs égaux à :

$$C_{1i} = \pi_i + C_1 + \gamma_1 + \varepsilon_{1i} \text{ avec } E(\varepsilon_{1i}) = 0 \quad (2)$$

$$C_{2i} = \pi_i + C_2 + \gamma_2 + \varepsilon_{2i} \text{ avec } E(\varepsilon_{2i}) = 0$$

$\pi_i$  étant une constante arbitraire.

Il n'est pas restrictif de prendre la même valeur  $\pi$  de  $\pi_i$  pour tous les individus et de faire rentrer cette valeur de  $\pi$  dans  $\gamma_1$  et  $\gamma_2$ . Ainsi pour chaque individu (i), chaque possibilité a un coût subjectif défini comme suit:

$$C_i = C + \gamma + \varepsilon_i \text{ avec } E(\varepsilon_i) = 0$$

où  $C$  = coût moyen pris en considération

$\gamma$  = coût subjectif moyen plus moyenne des coûts objectifs non pris en considération

$\varepsilon_i$  = somme de deux catégories d'éléments :

- Variations des coûts objectifs autour de la moyenne pour les différents individus
- Variations des coûts subjectifs autour de la moyenne pour les différents individus

La possibilité  $L_1$  est préférée à la possibilité  $L_2$  par l'individu (i) si  $C_{1i} < C_{2i}$ .

Considérée par rapport à l'ensemble des individus les  $C_1$  définissent une loi de probabilité de moyenne  $C + \gamma$  et de variance  $\sigma_{\varepsilon_1}^2$ . Si nous considérons la distribution des différences de coûts subjectifs  $C_{2i} - C_{1i}$  entre les 2 possibilités  $L_1$  et  $L_2$ , différence qui a pour moyenne  $m_2 - m_1 = C_2 - C_1 + \gamma_2 - \gamma_1$ , la probabilité P pour que  $C_{2i} - C_{1i} < 0$

---

(2) Le symbole  $E(\varepsilon_i)$  signifie espérance mathématique de  $\varepsilon_i$ .

représentée par l'aire hachurée sur le graphique n° 2 est l'espérance mathématique de la proportion des individus choisissant la route  $L_1$ .

Si  $n$  est grand nous avons  $\frac{n_1}{n_1+n_2} = P$ .

2.42 La courbe de choix entre  $L_2$  et  $L_1$  en fonction de  $(C_2-C_1)$

Si  $(C_2-C_1)$  augmente de  $\Delta C$ ,  $\frac{n_1}{n_1+n_2}$  pour des valeurs élevées de  $n = n_1+n_2$  varie de  $P(0)$  à  $P(\Delta C)$  (voir graphique n° 2), la courbe de choix  $\frac{n_1}{n_1+n_2}(C_2-C_1)$  est la courbe représentant  $P$  en fonction de  $C_{21}-C_{11}$ .

Les conclusions suivantes peuvent donc être tirées:

2.420 Le point "50% - 50%" correspond à la "médiane" de la distribution des différences de coûts subjectifs.

2.421 Si la courbe  $(C)$  est symétrique l'abscisse  $\delta$  du point (50%-50%) est égale à  $m_2-m_1=(C_2-C_1)+(\gamma_1-\gamma_2)$ .

2.422 Si  $(C)$  est symétrique la courbe de choix est symétrique autour du point (50%-50%).

2.43 Un modèle simple basé sur la loi des "coûts subjectifs".

2.430 Conditions d'un modèle "normal".

Il est assez naturel de faire l'hypothèse que la distribution de  $(C_2-C_1)_i$  est, en première approximation, une distribution de Laplace-Gauss (c'est-à-dire une distribution normale). On peut, en fait, penser que les causes déterminant les  $(C_2-C_1)_i$  pour les différents individus sont suffisamment nombreuses, suffisamment indépendantes en probabilité, suffisamment comparables dans l'ordre de grandeur de leurs effets, pour considérer que les conditions de Borel sont satisfaites en première approximation (1).

2.431 Pente de la courbe  $\frac{n_1}{n_1+n_2}$  au point (50%-50%)

---

(1) Théorème "Central limit".



Si  $\sigma$  est l'écart type de la distribution normale suivie par  $(C_2 - C_1)_i$ , il est facile de montrer que la pente de la courbe de choix  $\frac{n_1}{n_1 + n_2}$  au point (50%-50%) est égale à  $\frac{1}{\sigma \sqrt{2\pi}}$  (2)

Par suite, la pente de la courbe de choix sera d'autant plus faible que la variation de la différence des coûts subjectifs d'un individu à l'autre sera plus grande.

On peut donc penser "a priori" que la pente de la courbe de choix entre une ligne maritime et une ligne aérienne est moins forte qu'entre deux lignes maritimes.

### 2.5 Deux modèles très voisins : le modèle "normal" et le modèle (M<sub>1</sub>)

Si l'on trace la courbe cumulative de HENRI correspondant aux valeurs  $\frac{n_1}{n_1 + n_2}$  du modèle (M<sub>1</sub>) on constate (voir graphique n°2) qu'elle est pratiquement identique à une ligne droite pour les valeurs comprises entre 2% et 98%. Par suite les deux modèles (M<sub>1</sub>) et "normal" sont pratiquement équivalents.

La pente au point (50%-50%) pour le modèle (M<sub>1</sub>) est égale à  $\frac{\lambda}{4}$  (1). Par suite  $\frac{\lambda}{4} \approx \frac{1}{\sigma \sqrt{2\pi}}$

Cette propriété a été très utile. Elle a permis d'ajuster des familles de courbes de choix sur du papier "normal".

### 2.6 Courbe de choix et courbe d'affectation entre deux possibilités

Si l'on considère la répartition  $(n_1, n_2)$  entre deux lignes, par mer ou air, L<sub>1</sub> et L<sub>2</sub>, pour diverses relations (mouvements entre deux zones données d'origine et de destination) et si nous connaissons

---

$$(1) \quad \frac{n_1}{n_1 + n_2} = \int_{-\infty}^{C_2 - C_1} \frac{1}{\sigma \sqrt{2\pi}} e^{-\frac{[(C_2 - C_1) - (\delta_1 - \delta_2)]^2}{2\sigma^2}} d(C_2 - C_1)$$

$$(2) \quad \frac{d}{dx} \frac{e^{-\lambda x}}{1 + e^{-\lambda x}} (\text{pour } x=0) = \frac{\lambda}{4}$$

la courbe de regression de  $\frac{n_1}{n_1+n_2}$  en fonction de  $(C_2-C_1)$  cette courbe d'affectation est identique à la courbe de choix en fonction de  $(C_2-C_1)$

La seule hypothèse nécessaire est la suivante : même loi des coûts subjectifs pour les individus des différentes relations (c'est-à-dire des différentes "origine-destination") ce qui suppose essentiellement:

2.60 que  $\gamma_2 = \gamma_1$  a la même valeur pour toutes les relations (distributions avec la même valeur moyenne).

2.61 que la variance est la même.

La deuxième hypothèse qui signifie que les populations des diverses relations (deux zones d'origine et de destination données) ont un comportement analogue est très vraisemblable.

La première hypothèse suppose essentiellement que les erreurs systématiques sur  $(C_2-C_1)$  sont les mêmes quelle que soit la relation considérée ce qui est une restriction peu importante (1). On doit noter que les erreurs d'échantillonnage sur les estimations de  $\frac{n_1}{n_1+n_2}$  à l'aide de l'enquête "Origine-Destination" n'introduisent pas d'erreur systématique.

---

(1) L'existence d'erreurs systématiques différentes introduirait une variabilité horizontale et conduirait à une légère sous-estimation de la pente de la courbe de choix et par conséquent à sous-estimer légèrement le trafic détourné ce qui est de faible importance.

3. "LOI DE TRAFIC"

3.1 Le trafic fonction de la distance virtuelle entre deux zones

Etant donné deux zones, par exemple deux villes, le trafic entre ces deux zones a une certaine valeur  $T_0$  par unité de temps dans les circonstances actuelles où la distance virtuelle (coût total du voyage) entre les deux villes a une valeur bien déterminée  $d_0$ . Si l'on modifie seulement la variable  $d_0$  le trafic  $T_0$  varie et l'on peut concevoir le trafic  $T$  comme une fonction de  $d$  :

$$T = T(d)$$

La connaissance de la variation de  $T$  en fonction de  $d$  est fondamentale pour pouvoir calculer le trafic engendré par le passage d'une valeur  $d_0$  de  $d$  à une valeur plus faible  $d_1$ .

Parmi les fonctions simples que nous pouvons envisager à la lumière des études effectuées antérieurement, nous avons :

- la fonction "puissance" :  $\frac{T_1}{T_0} = \left(\frac{d_0}{d_1}\right)^\alpha$

- la fonction exponentielle :  $\frac{T_1}{T_0} = e^{\lambda(d_0 - d_1)}$

3.2 Etudes précédentes

3.20 Au cours des études effectuées pour la traversée du Sound le Dr. Astrom a utilisé la fonction  $T \frac{K}{d} 247$  qui a été déduite d'enquêtes "origine-destination" sur les principales routes suédoises. Il a été le premier, à notre connaissance, à introduire la notion de distance virtuelle.

3.21 En Hollande, Mr. Van Veen à partir d'une relation statistique donnant la distribution des voyages en fonction de la distance est arrivé à une courbe exponentielle.

3.3 Signification des "lois" "puissance" et "exponentielle"

La relation la plus simple entre  $d$  et  $T$  semble être  $T_1 - T_0 = K(d_0 - d_1)$ , mais  $K$  dépend manifestement de  $T_0$ . C'est la raison pour laquelle les relations les plus simples sont celles de la forme :

$$\frac{T_1}{T_0} = f\left(\frac{d_0}{d_1}\right) \text{ où } f \text{ dépend uniquement de } \left(\frac{d_0}{d_1}\right)$$

L'un des modèles les plus simples de ce type est  $f\left(\frac{d_0}{d_1}\right) = \left(\frac{d_0}{d_1}\right)^\alpha$   
Un tel modèle signifie que l'élasticité du trafic en fonction de la distance est constante.

Mais ce modèle suppose que la motivation du trafic dépend de la variation relative de la distance virtuelle. Si cette motivation ne dépend pas du niveau de la distance virtuelle, il vaut mieux utiliser la différence de distance et par conséquent considérer le modèle  $\frac{T_1}{T_0} = e^{-\lambda(d_0 - d_1)}$

### 3.4 Structure du trafic entre deux groupes de zones

3.40 Si nous considérons un premier groupe de zones ( $i = 1, 2, \dots, r$ ) et un deuxième groupe de zones ( $j = 1, 2, \dots, s$ ) il existe  $rs$  relations caractérisées dans les circonstances actuelles par les distances virtuelles  $d_{ij}$  et des volumes de trafic par unité de temps  $T_{ij}$ .

#### 3.41 Qu'arrive-t-il si l'on modifie les $d_{ij}$

Si pour une relation donnée ( $i, j$ )  $d_{ij}$  varie de  $(d_{ij})_0$  à  $(d_{ij})_1$  il n'est pas évident que la variation du trafic pour la relation ( $i, j$ ) ne dépend pas des variations pour les autres relations. Si une telle hypothèse d'indépendance des relations peut être acceptable pour les voyages d'affaires elle peut être considérée "a priori" comme suspecte pour les touristes venant de la zone ( $i$ ), ceux-ci ayant la possibilité de modifier leur choix de la zone ( $j$ ).

3.42 Si l'on accepte l'hypothèse d'indépendance la même diminution de la distance virtuelle sur toutes les relations ( $i, j$ ) entraîne :

3.420 Avec une loi "puissance" un accroissement relatif du trafic plus faible pour les relations les plus éloignées.

3.421 Avec une loi exponentielle le même accroissement relatif du trafic pour toutes les relations.

3.5 Principe de calcul du trafic engendré par le Tunnel à partir de la structure du trafic actuel entre la Grande-Bretagne et le Continent.

3.50 Méthode suivie

Le problème a pour but de déterminer le  $\alpha$  ou le  $\lambda$  de la "loi" de trafic. La méthode suivie par les ingénieurs-conseils a consisté à tester divers modèles avec la structure actuelle du trafic de manière à pouvoir isoler la seule influence du paramètre  $\alpha$  ou  $\lambda$ . Dans les paragraphes suivants sont décrits les essais effectués par les ingénieurs-conseils dans diverses directions avant de pouvoir adopter une solution.

Une méthode classique est basée sur le modèle suivant:

(1)  $T_{ij} = K_i K_j f(d_{ij})$ , ou sur le modèle plus élaboré

$$T_{ij} = (K_i' \cdot K_j'' + K_i'' \cdot K_j') f(d_{ij})$$

où  $K_i, K_j$  (ou  $K_i', K_j', K_i'', K_j''$ ) sont connus et peuvent être multipliés par un facteur constant. Les paramètres suivants ont été utilisés:

- (1)  $K_i, K_j$  : nombre de voitures
- (2)  $K_i', K_j'$  : nombre de voitures
- $K_i'', K_j''$  : population

3.51 Etude de la répartition des départs de la zone (i) entre les Zones (j) de destination

Si l'on admet un trafic de la forme  $T_{ij} = K_i K_j f(d_{ij})$

(1) l'hypothèse d'une forme particulière entraîne certaines propriétés de la répartition des voyages partant de la zone (i) entre les diverses zones (j).

- 
- (1) qui suppose l'indépendance des relations définies ci-dessus.  $K_i$  peut être le nombre de véhicules de la zone (i),  $K_j$  le coefficient d'attraction touristique de la zone (j).

3.510 Fonction exponentielle

Si  $d_{ij} = d_i + d_j$ , ce qui est le cas pour de nombreuses relations pour lesquelles la ligne la plus favorable (distance virtuelle la plus courte) est Douvres-Boulogne, nous avons :

$$(1) \frac{T_{i1j}}{T_{i2j}} = \frac{K_{i1}}{K_{i2}} e^{-\lambda (d_{i1} - d_{i2})}$$

et

$$(2) \frac{T_{ij1}}{T_{ij2}} = \frac{K_{j1}}{K_{j2}} e^{-\lambda (d_{i1} - d_{i2})}$$

3.5100 L'équation (1) ci-dessus signifie que le rapport du nombre de véhicules quittant une zone ( $i_1$ ) pour une zone ( $j$ ) au nombre de véhicules quittant une zone ( $i_2$ ) pour la même zone ( $j$ ) est le même quelle que soit la zone  $j$  considérée.

En conséquence, nous avons essayé de voir si nos voyages répondaient à cette propriété. Nous avons dessiné le graphique 3 qui indique en abscisse le logarithme de la distance virtuelle entre Douvres et des groupes de zones du Continent choisies d'après la valeur de leur distance virtuelle à Douvres et en ordonnée le nombre de véhicules en provenance d'un groupe de zones donné en Grande-Bretagne exprimé en proportion du nombre en provenance de la zone de Londres.

Si la loi exponentielle doit être vérifiée la ligne tracée pour un groupe de zones anglaises donné doit être une ligne horizontale. Le graphique est très satisfaisant si l'on considère que les points représentant les mouvements entre les zones A et F et les zones extrêmes du Continent correspondent aux plus petits nombres de voyages et sont les moins significatifs.

3.5101 L'équation (2) ci-dessus signifie que le rapport des arrivées entre, par exemple, Paris et Milan est le même pour les départs de l'Ecosse que pour les départs de Londres.

3.5102

Pour une zone (i) donnée et les diverses zones (j) :

$$T_{ij} = K_i K_j e^{-\lambda(d_i+d_j)}, K_i \text{ étant une constante}$$

nous avons  $\sum_j T_{ij}$  = nombre de véhicules quittant la zone (i) =

$$K_i e^{-\lambda d_i} \sum_j K_j e^{-\lambda d_j}$$

Mais  $\sum_j K_j e^{-\lambda d_j}$  est une constante; par suite nous avons :

$$\text{nombre de véhicules quittant la zone (i)} = A K_i e^{-\lambda d_i}$$

Si nous considérons maintenant le nombre de véhicules

$V_i$  de la zone (i) nous pouvons écrire :

$$\frac{T_i}{V_i} = B e^{-\lambda d_i}$$

L'étude de la dépendance statistique entre  $\frac{T_1}{V_1}$  et  $d_i$  permet de déterminer  $\lambda$ . Ceci a été très important car nous n'avons pas trouvé de moyen pour isoler de manière précise le seul effet de  $\alpha$ . C'est donc sur la base de cette détermination de  $\lambda$  que le trafic engendré a été calculé.

Afin d'éliminer les interférences géographiques éventuelles nous avons considéré au graphique n° 4 la zone de destination la plus importante sur le Continent. La proportion des automobilistes quittant les zones urbaines est notablement supérieure à celle des automobilistes quittant les zones rurales. La valeur de  $\lambda$  ainsi déterminée est de 0,0166.

Dans les paragraphes suivants, nous indiquons d'autres travaux de recherche effectués par les ingénieurs-conseils afin de déterminer de manière valable  $\alpha$  ou  $\lambda$  par d'autres méthodes, méthodes qui se sont révélées impraticables.

### 3.511 Fonction "puissance"

3.5110 Si nous avons toujours  $d_{ij} = d_i + d_j$  nous n'avons plus  $\frac{T_{i1j}}{T_{i2j}}$  indépendant de j. En réalité :

$$\frac{T_{i1j}}{T_{i2j}} = \frac{K_1}{K_2} \left( \frac{d_2 + d_j}{d_1 + d_j} \right) \propto$$

Les départs des différentes zones (i) ne sont pas distribués de la même manière entre les zones (j) plus la zone (i) est éloignée, plus importante est la part des zones (j) les plus lointaines dans la distribution des arrivées en provenance de la zone (i).

La distribution de nos voyages ne suit pas cette propriété.

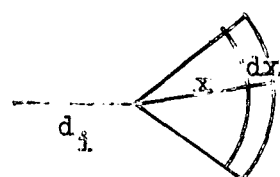
3.5111 S'il existait un  $\alpha > 0$ , le graphique n° 3 devrait montrer des pentes de signe négatif pour la courbe de la zone A et des pentes positives pour celles des autres zones, les pentes croissant de manière continue avec C, D, E, F, et G. Le graphique ne met pas en évidence une telle propriété.

3.52 Distribution statistique des voyages en fonction de la Distance

Toujours avec l'hypothèse que  $T_{ij} = K_i K_j f(d_{ij})$  on peut essayer de déterminer la relation entre la distance virtuelle d et le nombre de départs d'une zone donnée (i) pour une destination plus lointaine que d.

Cette relation est influencée par la structure géographique des  $K_j$ . En fait, en appelant K ds l'attraction d'une zone ds à une distance x de (i)

$$T_d = \int_{x=d}^{x=\infty} T(x) dx = K_i \int_{x=d}^{x=\infty} K ds f(d)$$



Si l'on admet que K = constante, que les zones (j) font un angle et que f(d) est une loi "puissance"

$$T_d = K_i \int_{x=d_i}^{x=\infty} \frac{x}{(d_i + x)^\alpha} dx$$

Si la loi de trafic était une exponentielle  $e^{-\lambda x}$  la loi cumulative serait une exponentielle.

$$T_d = K_i \int_{x=d_i}^{x=\infty} x e^{-\lambda x} dx$$

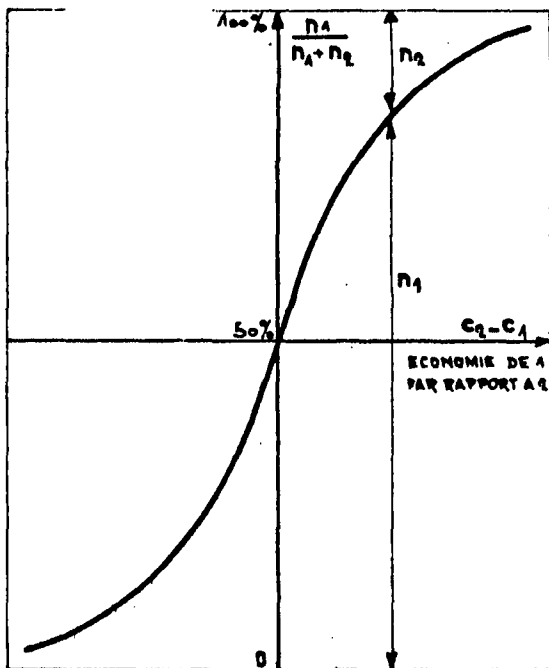


Les deux remarques ci-dessus sur les conséquences de la structure géographique d'une part et la forme des intégrales d'autre part montrent pourquoi nous n'avons pu isoler le  $\alpha$  ou le  $\lambda$  de la "loi" de trafic par cette méthode.

Les courbes pour Londres et pour tous les voyages de Grande-Bretagne sont indiquées avec échelle logarithmique et semi-logarithmique sur les graphiques 5, 6, 7, 8, 9, et 10. Nous avons utilisé la distance virtuelle réelle d'une part et la distance virtuelle par la meilleure route Douvres-Boulogne d'autre part. Comme il a été dit ci-dessus cette courbe ne permet pas de déterminer  $\alpha$  ou  $\lambda$ . La partie de la courbe où la pente change correspond à la zone du Continent ayant la plus forte attraction géographique.

COURBES D'AFFECTATION  
VEHICULES ACCOMPAGNES  
ET PASSAGERS.

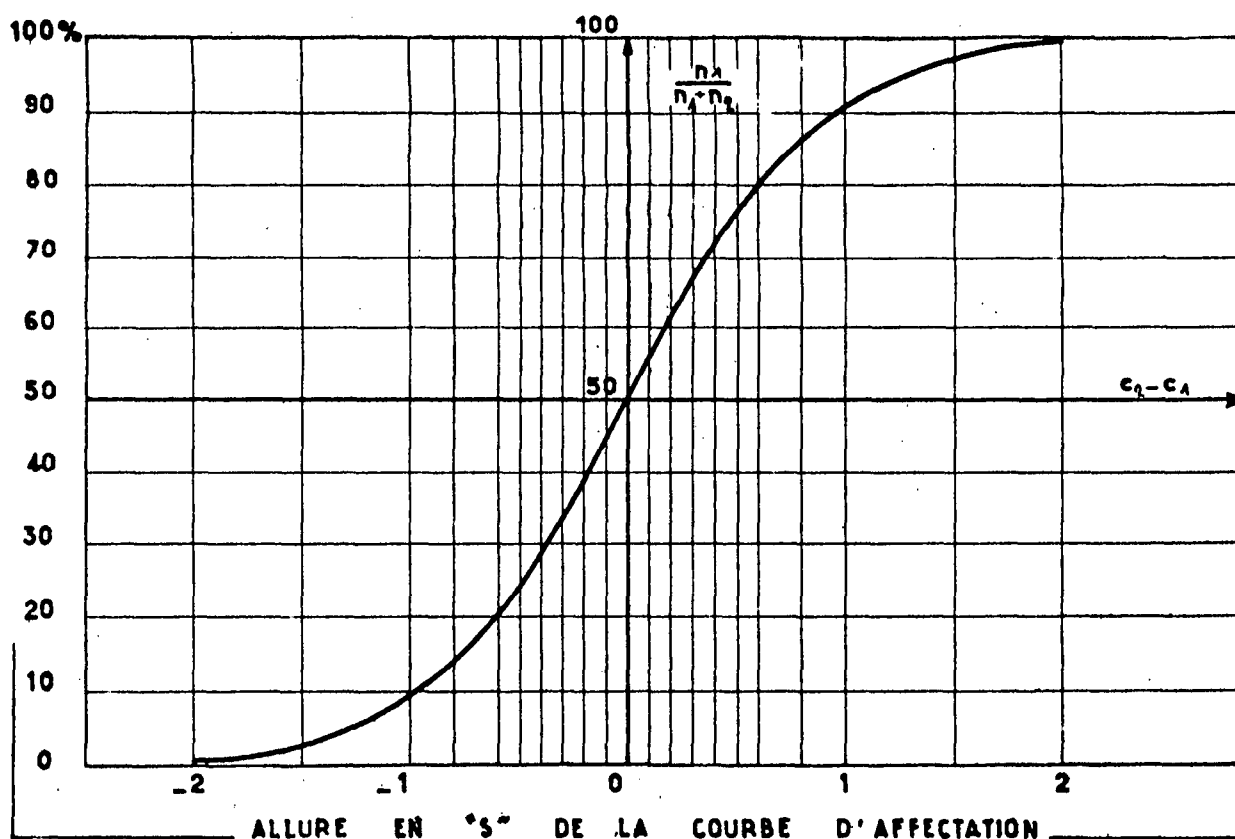
ALLURE DE LA COURBE D'AFFECTATION  
MODELE  $n_1 = \frac{n_1}{n_2} = k_0 \lambda^{(c_2 - c_1)}$



$c_2 - c_1$	$\frac{n_1}{n_2}$	$\frac{n_1}{n_1 + n_2}$
0	1,000	0,500
0,1	1,258	0,557
0,2	1,584	0,613
0,3	1,995	0,666
0,4	2,512	0,715
0,5	3,162	0,759
0,6	3,981	0,799
0,8	6,310	0,863
1,0	10,000	0,909
1,5	31,620	0,970
2	100	0,990

$\log_{10} \frac{n_1}{n_2} = c_2 - c_1$

LA PRESENTATION DE LA COURBE DE CHOIX

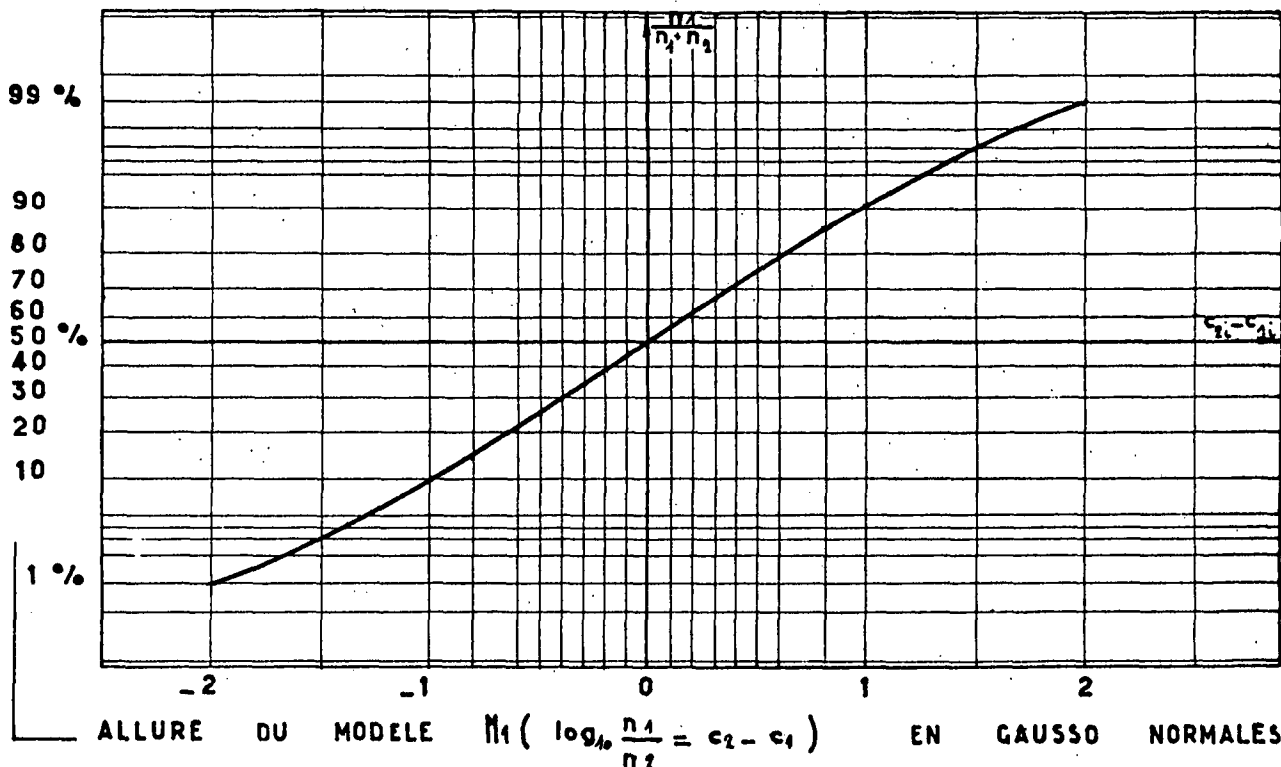
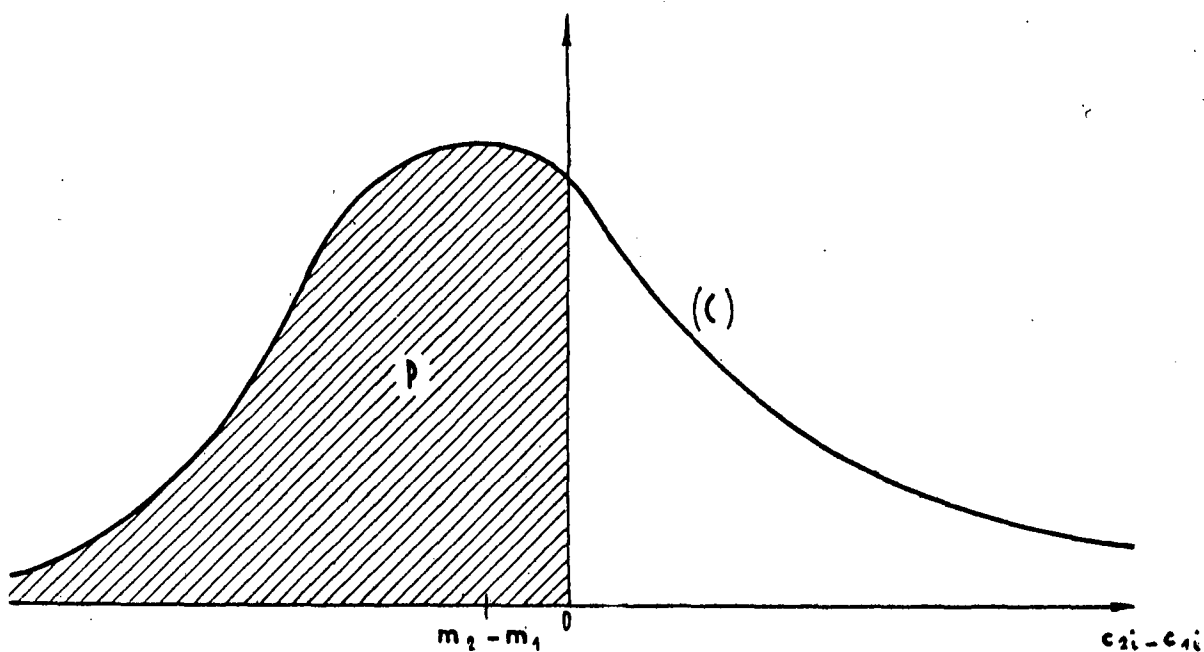


COURBES D'AFFECTATION  
VEHICULES ACCOMPAGNES  
ET PASSAGERS

### LOI DES COUTS SUBJECTIFS

$P$  = ESPERANCE MATHEMATIQUE DE LA PROPORTION  
DES INDIVIDUS CHOISSANT LA ROUTE  $L_1$

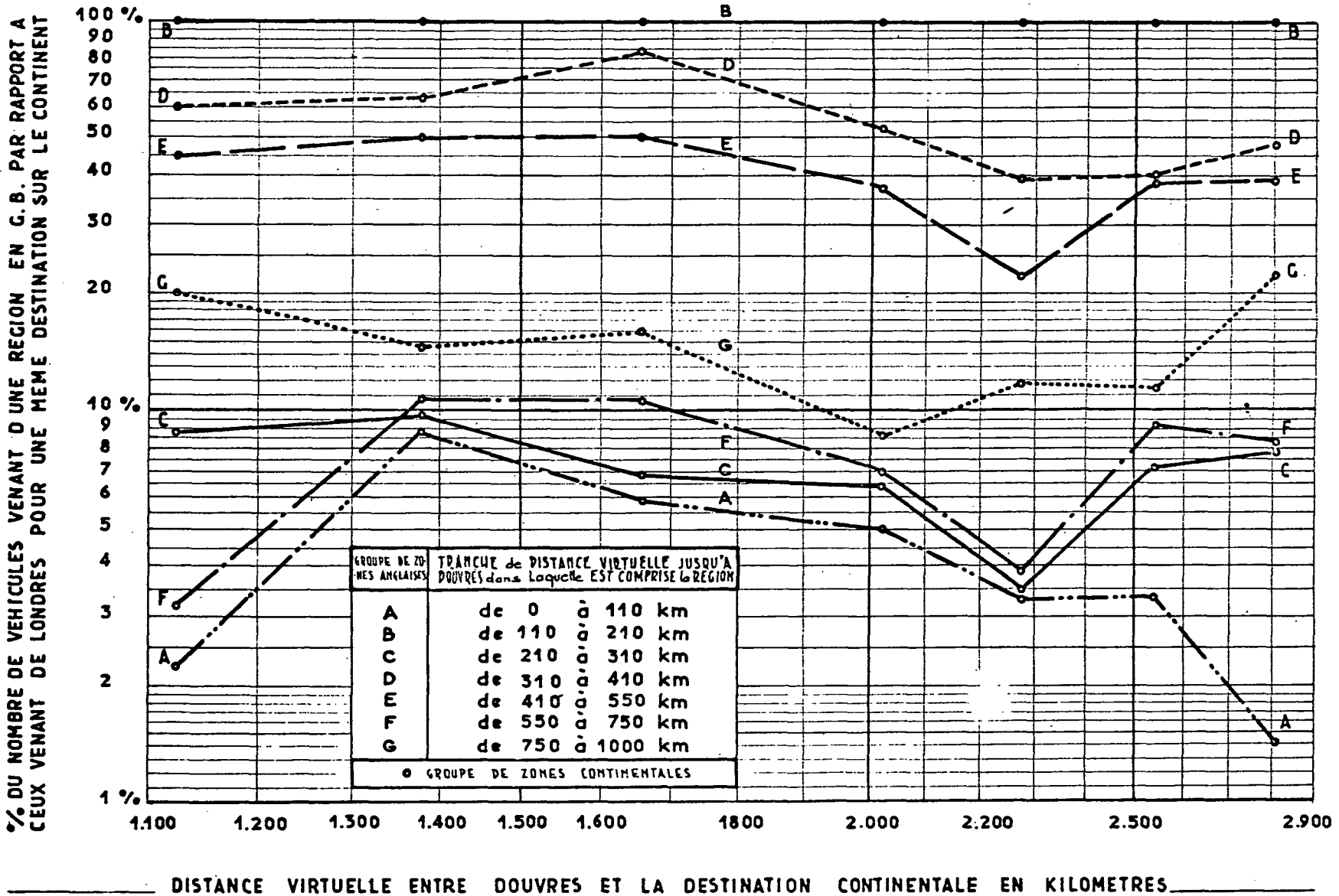
$m_2 - m_1$  = MEDIANE DE LA LOI DE DIFFERENCE  
DES COUTS SUBJECTIFS.



## APPENDICE : GRAPHIQUE N° 2

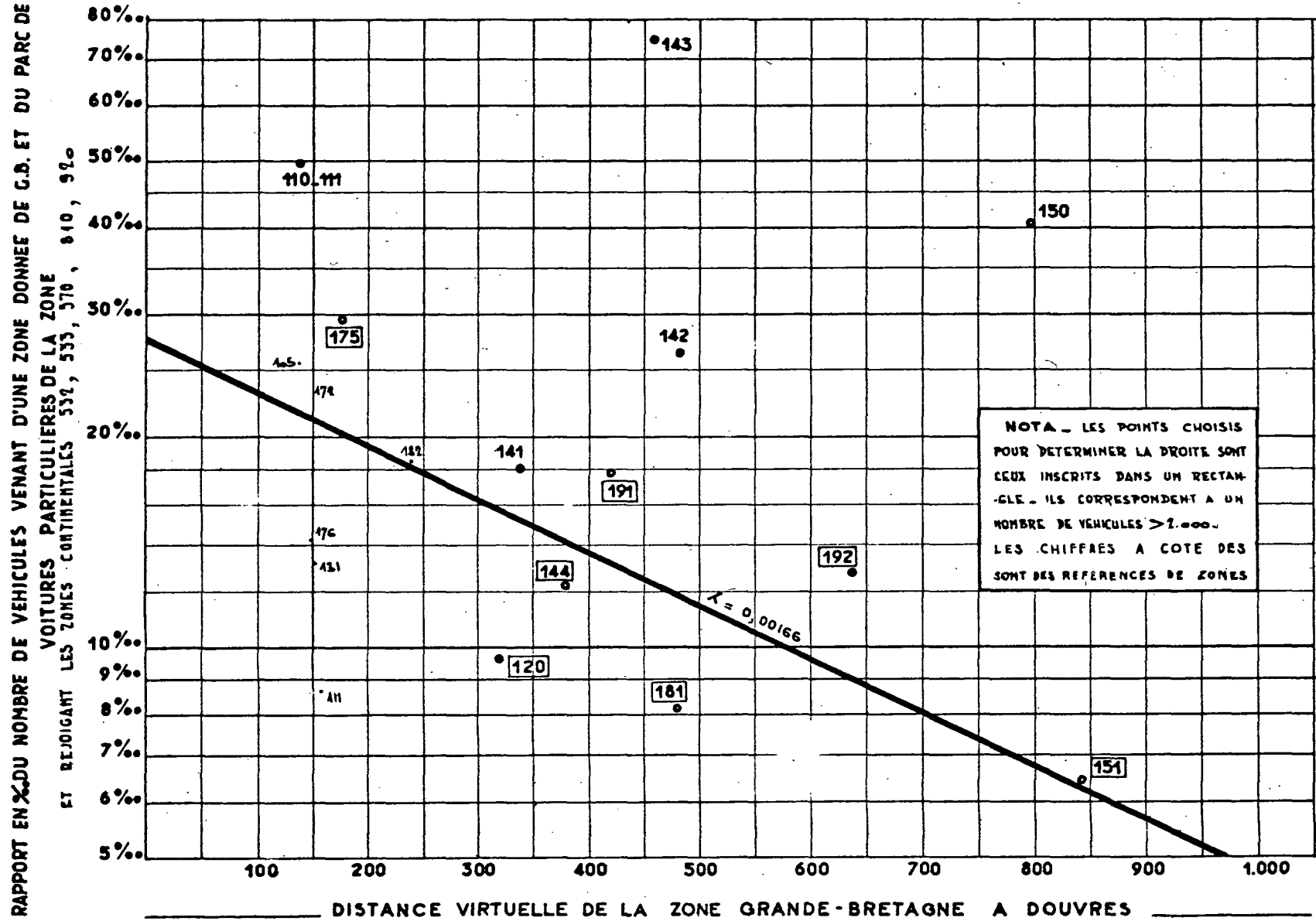
LOI DE TRAFIC  
VEHICULES  
ACCOMPAGNES

NOMBRE DE VEHICULES QUITTANT UNE ZONE ANGLAISE DONNEE ( EXPRIME EN POURCENTAGE DU NOMBRE DE VEHICULES QUITTANT LONDRES ) EN FONCTION DE LA ZONE CONTINENTALE DE DESTINATION



LOI DE TRAFIC  
VEHICULES ACCOMPAGNES

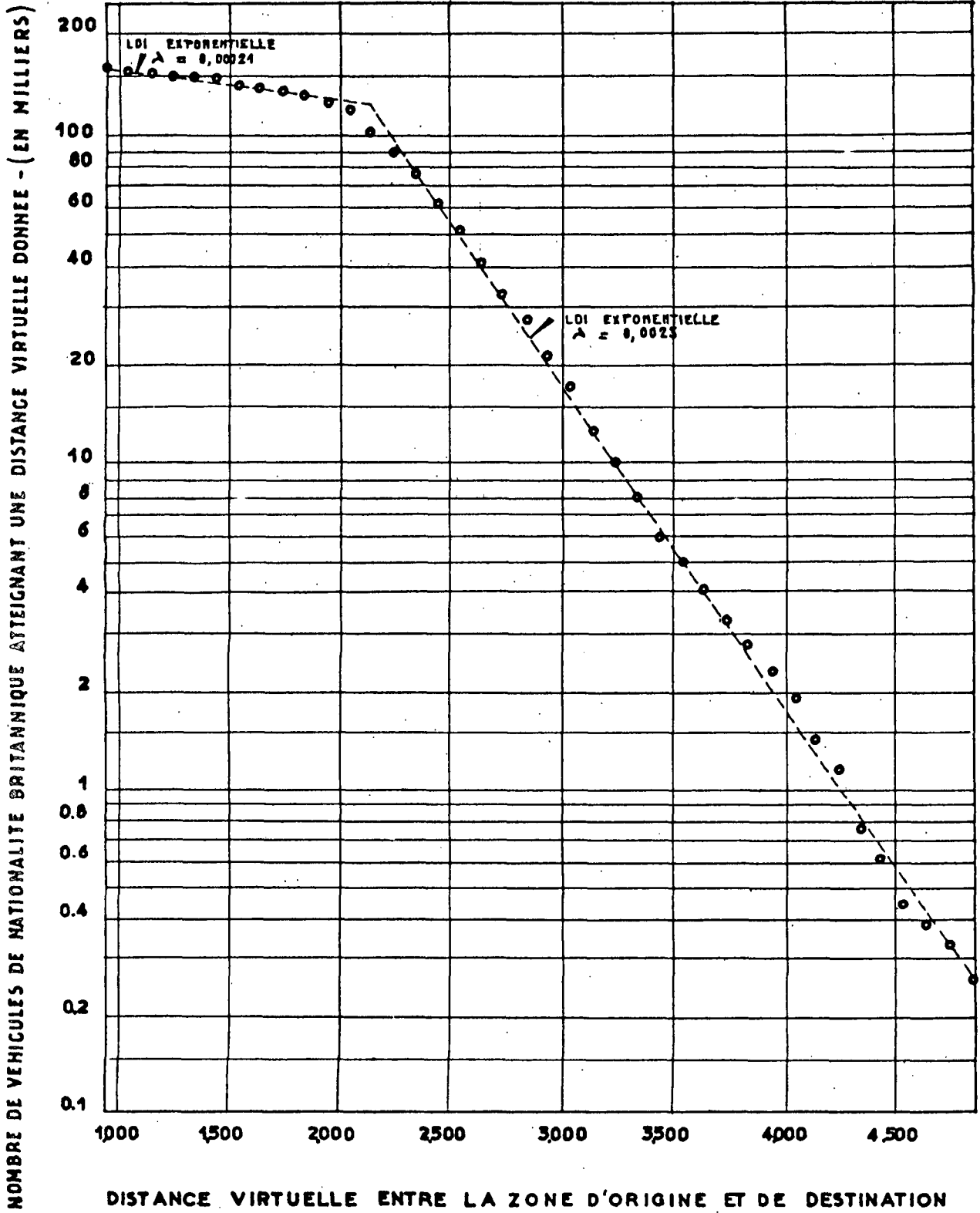
DETERMINATION DE LA LOI EXPONENTIELLE



-213-

LOI DE TRAFIC  
VEHICULES ACCOMPAGNES

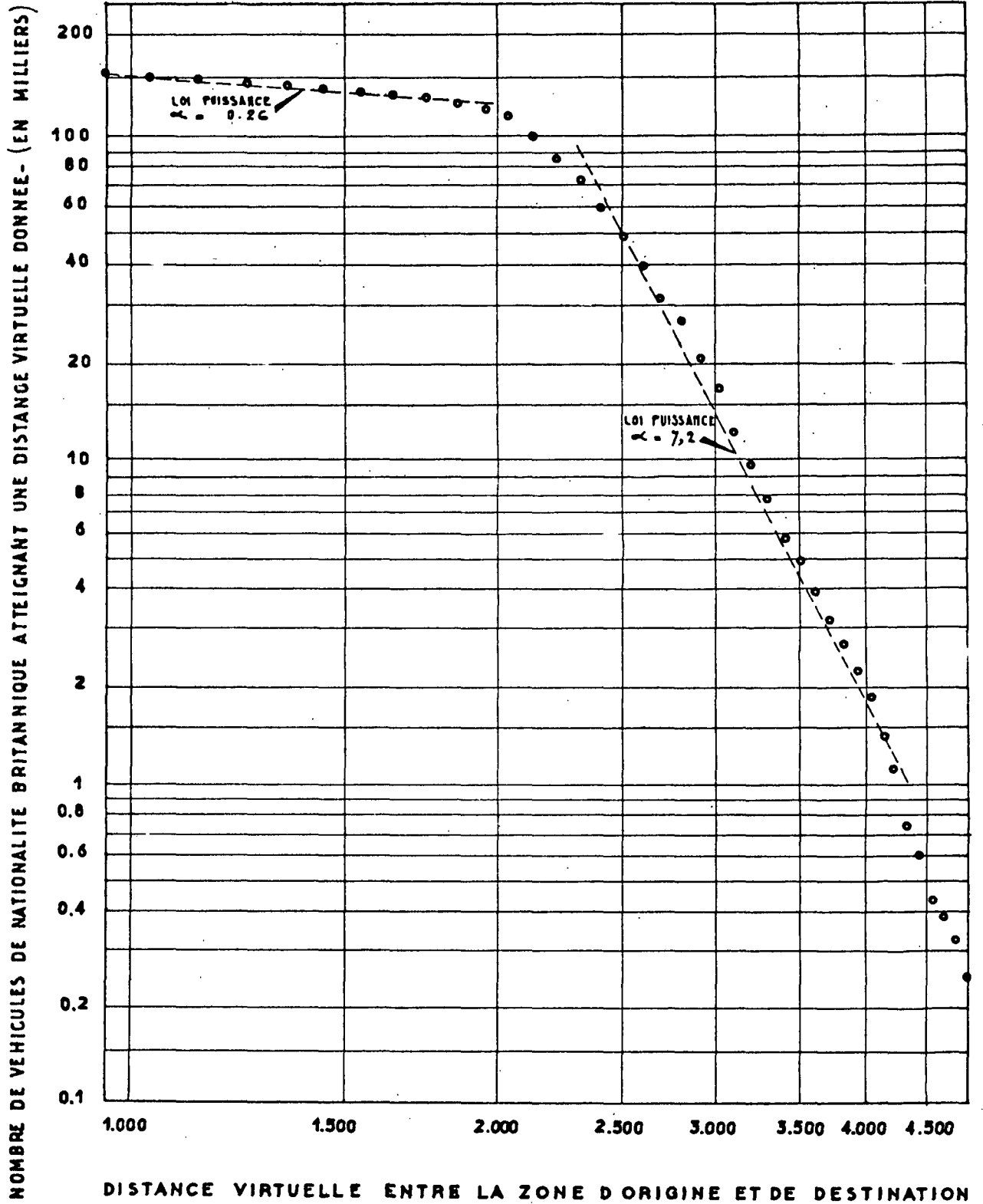
LOI DE DISTRIBUTION DES VOYAGES EN FONCTION DE LA DISTANCE  
TOTAL GRANDE-BRETAGNE



APPENDICE : GRAPHIQUE N° 5

LOI DE TRAFIC  
VEHICULES ACCOMPAGNES

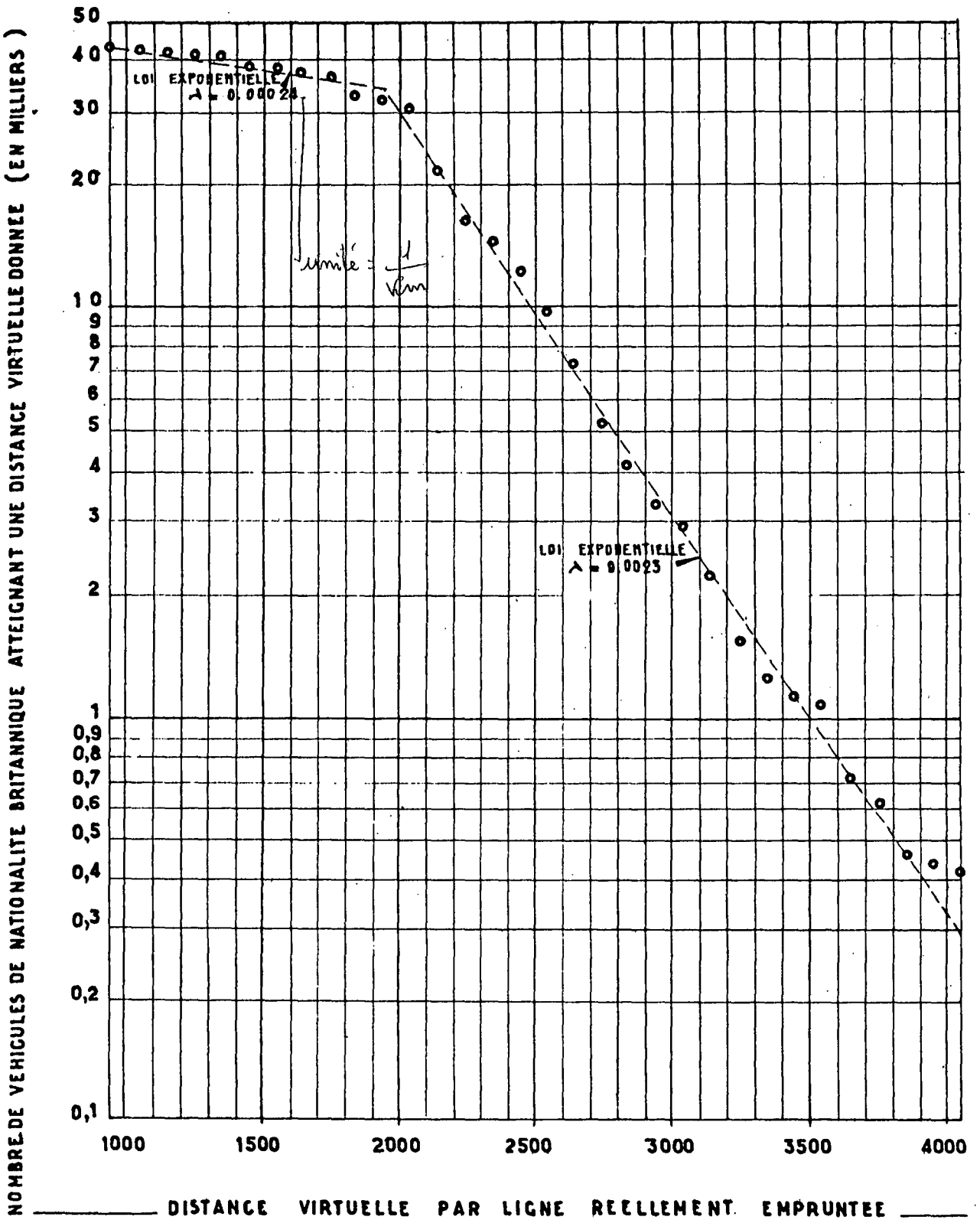
LOI DE DISTRIBUTION DES VOYAGES EN FONCTION DE LA DISTANCE  
TOTAL GRANDE-BRETAGNE



APPENDICE : GRAPHIQUE N° 6

LOI DE TRAFIC  
VEHICULES ACCOMPAGNES

LOI DE DISTRIBUTION DES VOYAGES EN FONCTION DE LA DISTANCE  
TOTAL LONDRES

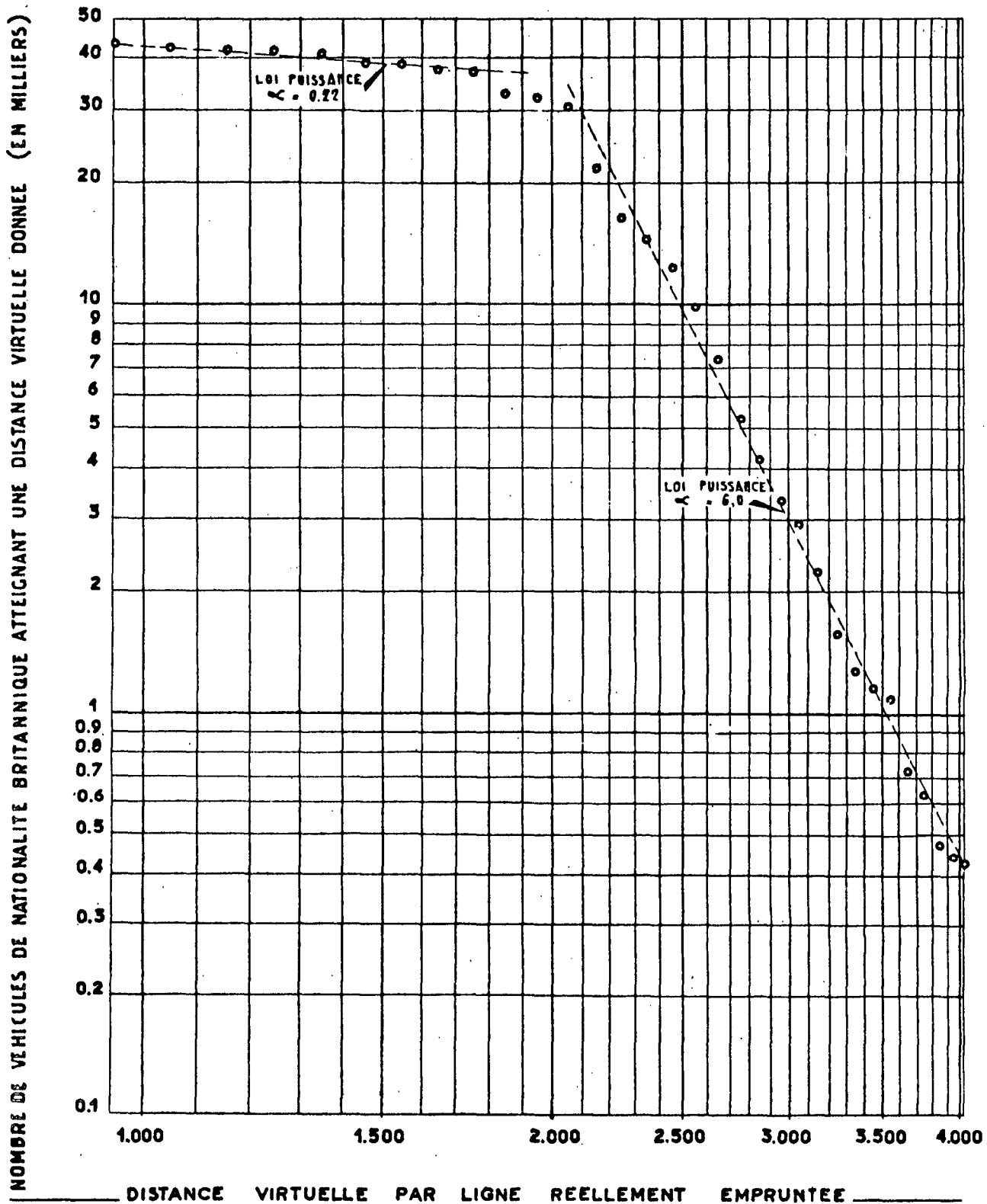


APPENDICE : GRAPHIQUE N° 7



LOI DE TRAFIC  
VEHICULES ACCOMPAGNES

LOI DE DISTRIBUTION DES VOYAGES EN FONCTION DE LA DISTANCE  
TOTAL LONDRES

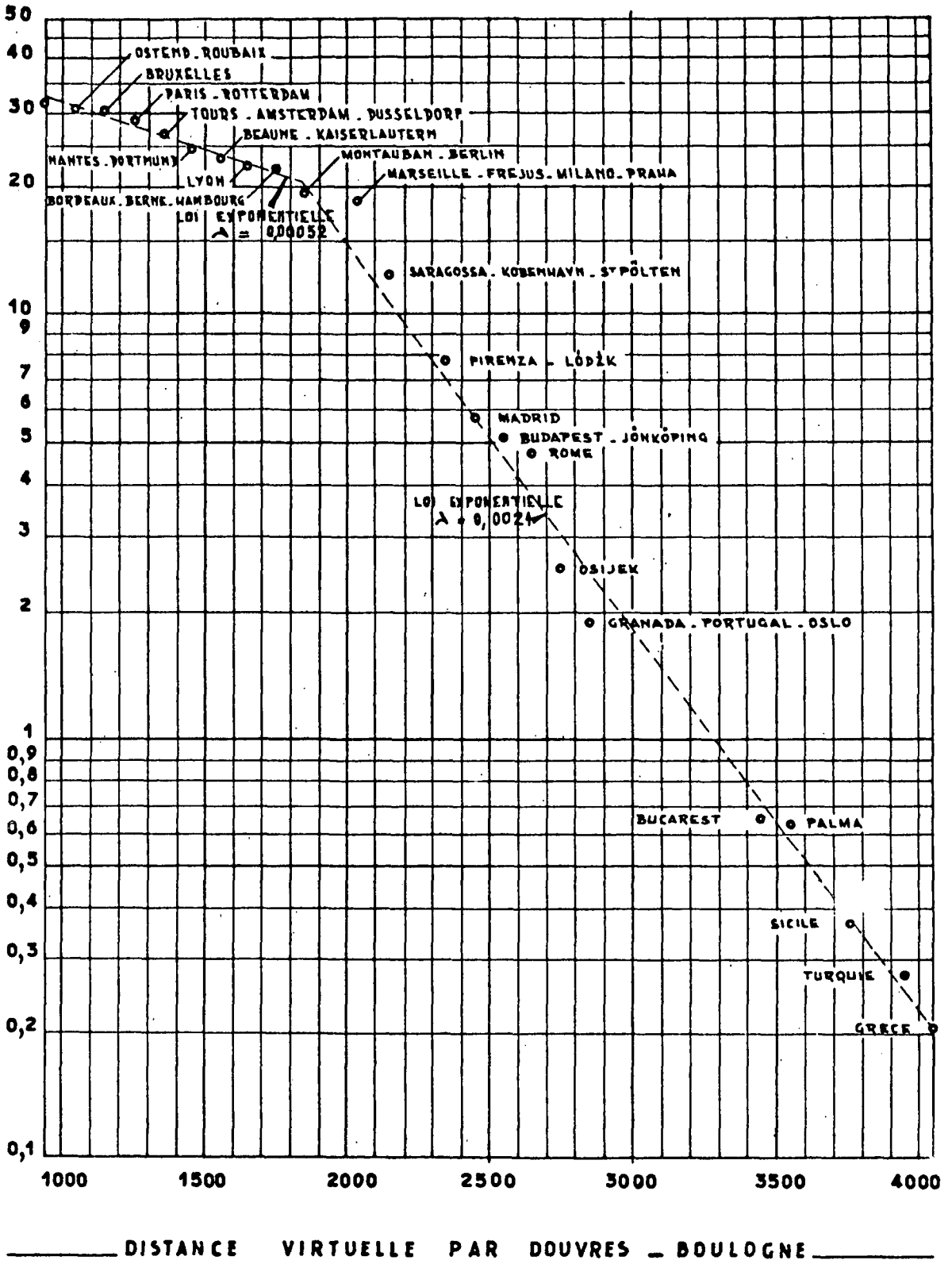


APPENDICE : GRAPHIQUE N° 8

LOI DE TRAFIC  
VEHICULES ACCOMPAGNES

LOI DE DISTRIBUTION DES VOYAGES EN FONCTION DE LA DISTANCE  
TOTAL LONDRES

NOMBRE DE VEHICULES DE NATIONALITE BRITANNIQUE ATTEIGNANT UNE DISTANCE VIRTUELLE DONNEE ( EN MILLIERS )

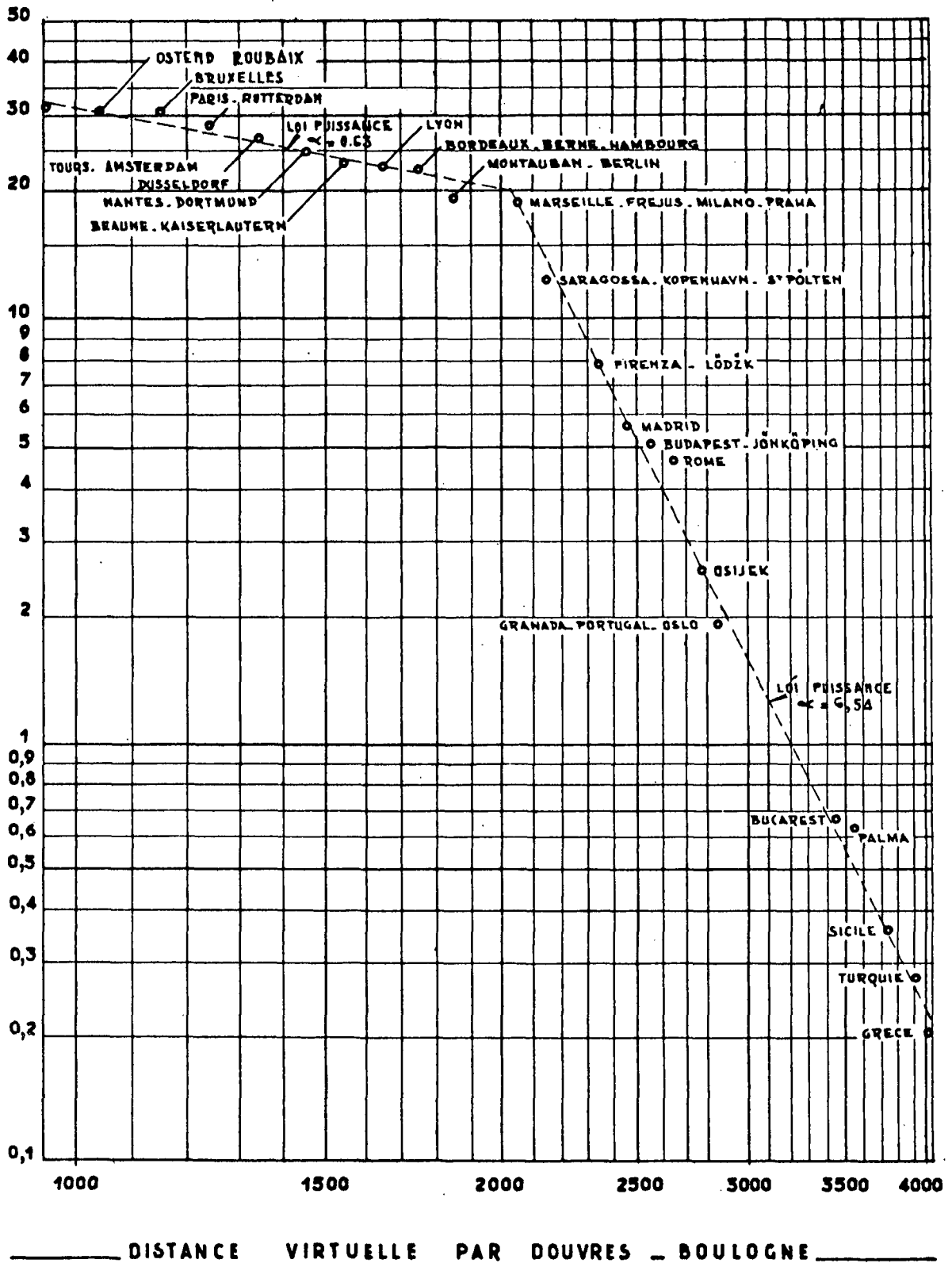


APPENDICE : GRAPHIQUE N° 9

LOI DE TRAFIC  
VEHICULES ACCOMPAGNES

### LOI DE DISTRIBUTION DES VOYAGES EN FONCTION DE LA DISTANCE TOTAL LONDRES

NOMBRE DE VEHICULES DE NATIONALITE BRITANNIQUE ATTEIGNANT UNE DISTANCE VIRTUELLE DONNEE ( EN MILLIERS )



APPENDICE : GRAPHIQUE N° 10